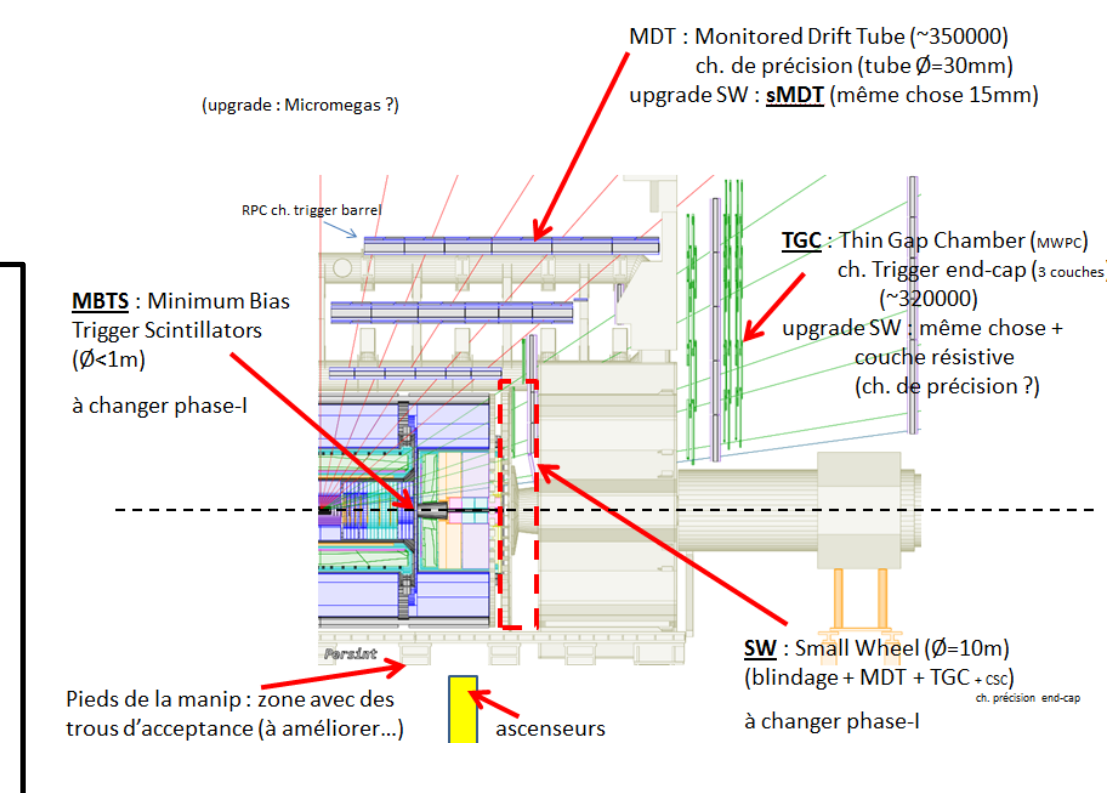


Upgrade (*) d'Atlas : partie spectromètre à muons

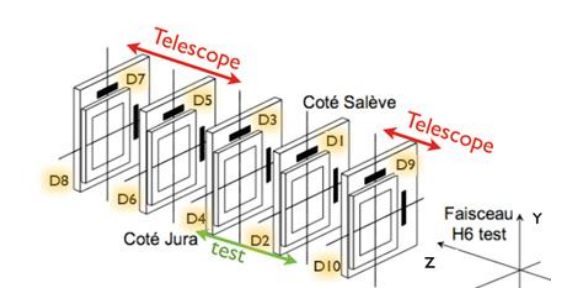
- Comment cela marche actuellement ?
 - Quelles techniques et où ?
- Problème du bruit de fond
- Upgrade (*)
 - Les différentes options
- Test-beam
- Conclusions

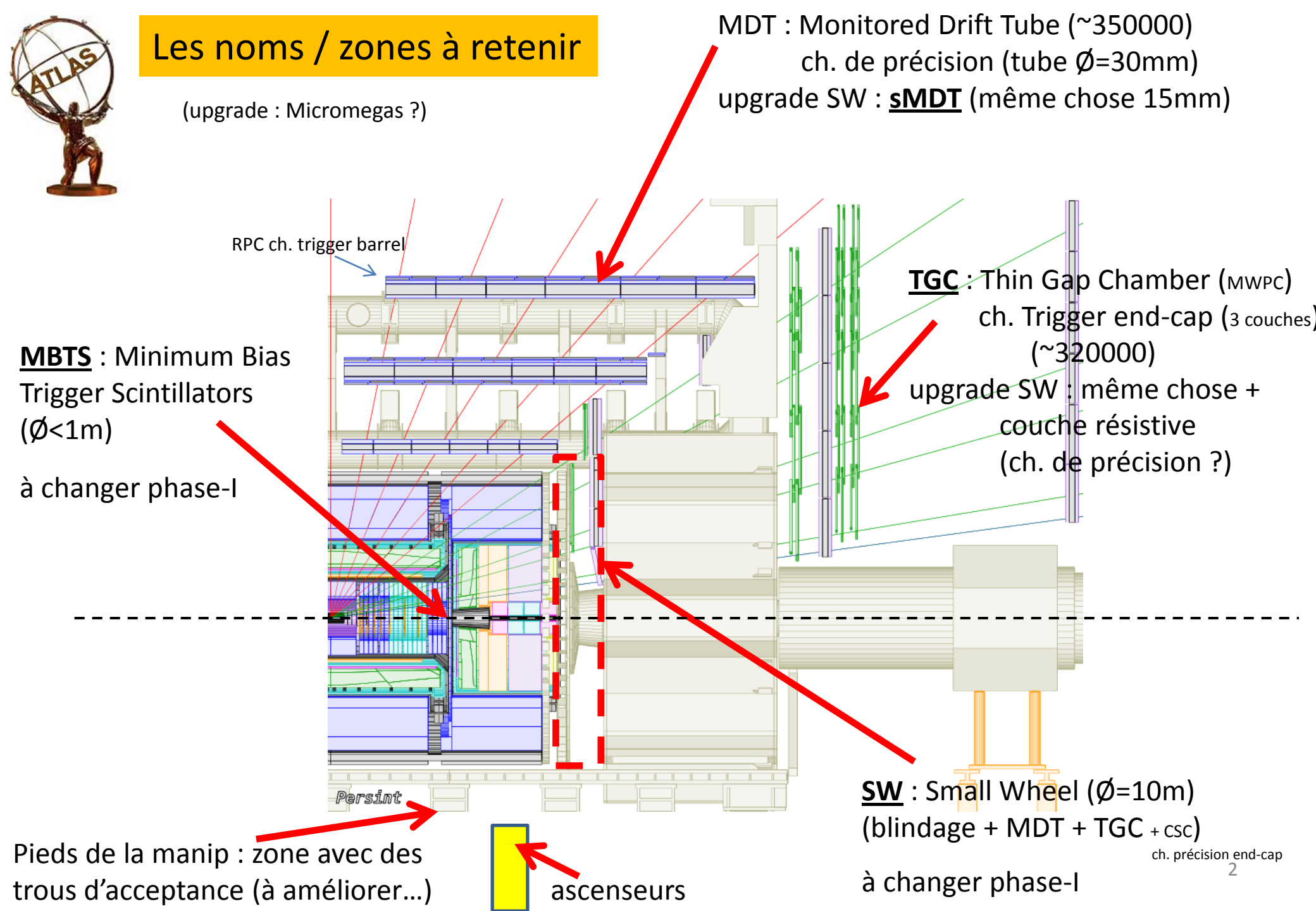


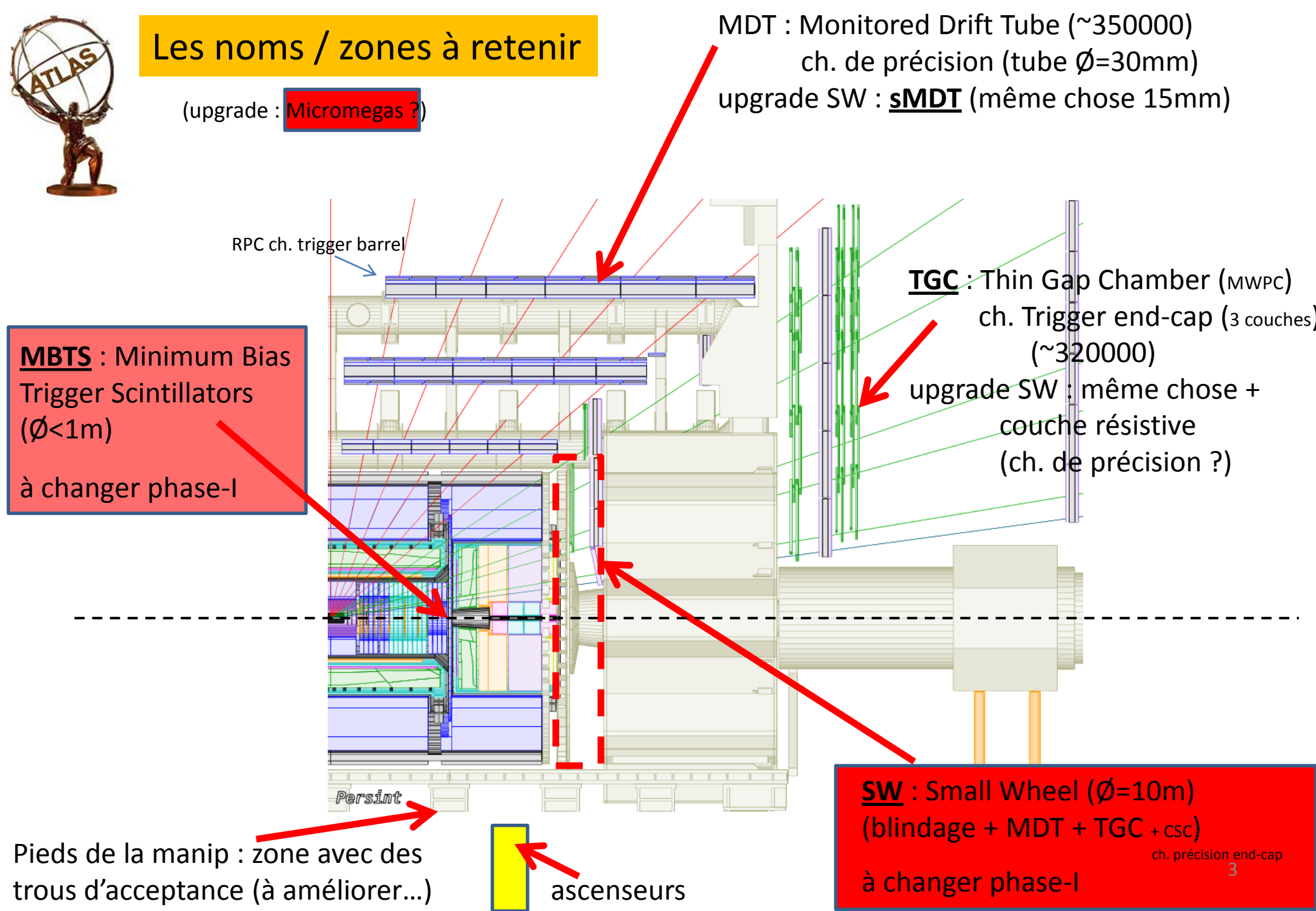
Philippe Schune

Pour le groupe HL-LHC Atlas-Saclay spectromètre à μ









Principe de la mesure et du trigger L1 muon d'Atlas

Fenêtres de coïncidence telles que :

 ϵ = 90% au seuil donné pour μ+ et μ-

(en tenant compte des diff. effets)

Problème si seuil pas assez « raide » => saturation...

Sachant que : $\epsilon_{RPC/TGC} \sim 10^{-4}$ (n) et $\sim 5.10^{-3}$ (γ) en moyenne sur leur spectre

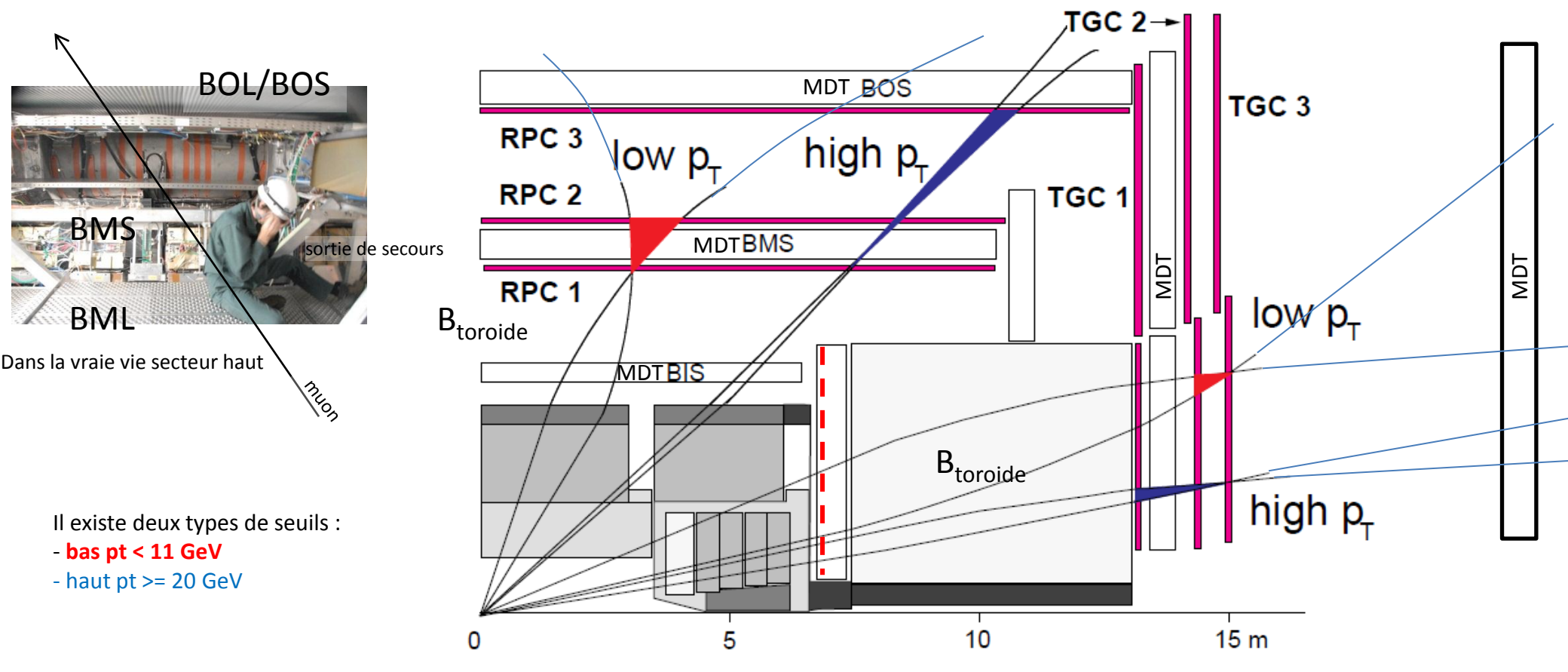
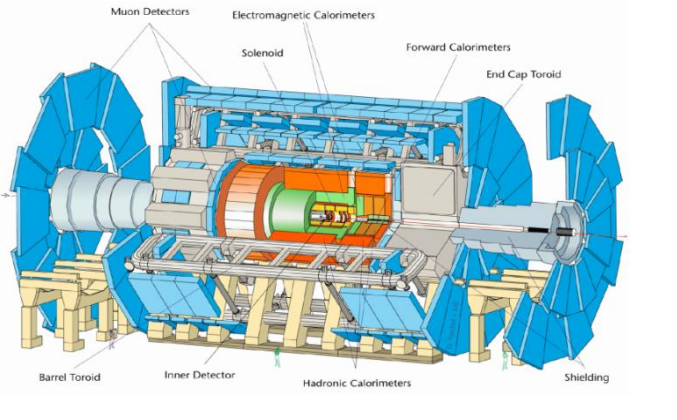


Figure 12-7 Level-1 muon-trigger scheme in the barrel and in the end-cap. The low- p_T trigger is based on two double layers of trigger chambers; the high- p_T trigger uses an additional double layer in the barrel and a triple layer in the end-cap. The shaded area represents the calorimeters and the absorber. Trajectories for positive and negative muons are shown.

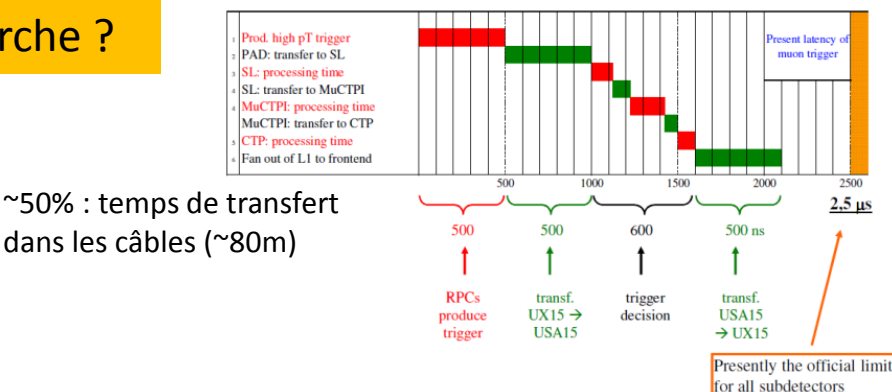


HLT-

(soft.)

Trigger: comment ca marche?

L1 Present latency in the muon system



Le trigger (déclenchement): (collisions : 40 MHz)

Actuellement trois niveaux : L1, L2, event filter (EF)

/ temps requis / freq. max

L1 : uniquement les détecteurs « rapides » TGC / RPC (*) < 2,5 μ s ~ 75 kHz

upgrade phase-II (>2020 ?) $^{\sim}$ 6 μs ou + ?

L2 : ajout d'information des détecteurs MDT et csc (**) ~ 3.5 kHz

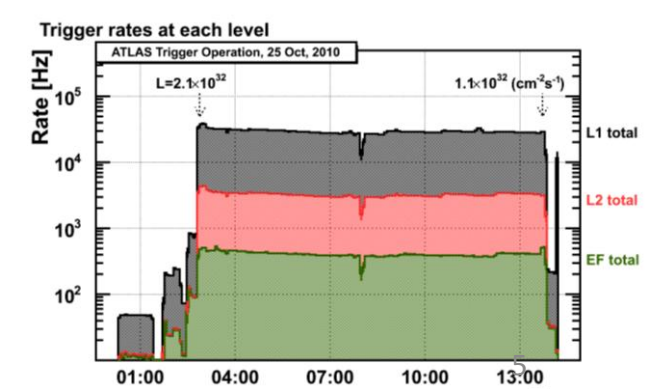
(seulement dans les régions d'intérêts -RoI-, ie. superhit in each chamber => flèche effective + LuT)

EF : ferme de processeurs incluant une reconstruction de la trace ~ 200 Hz

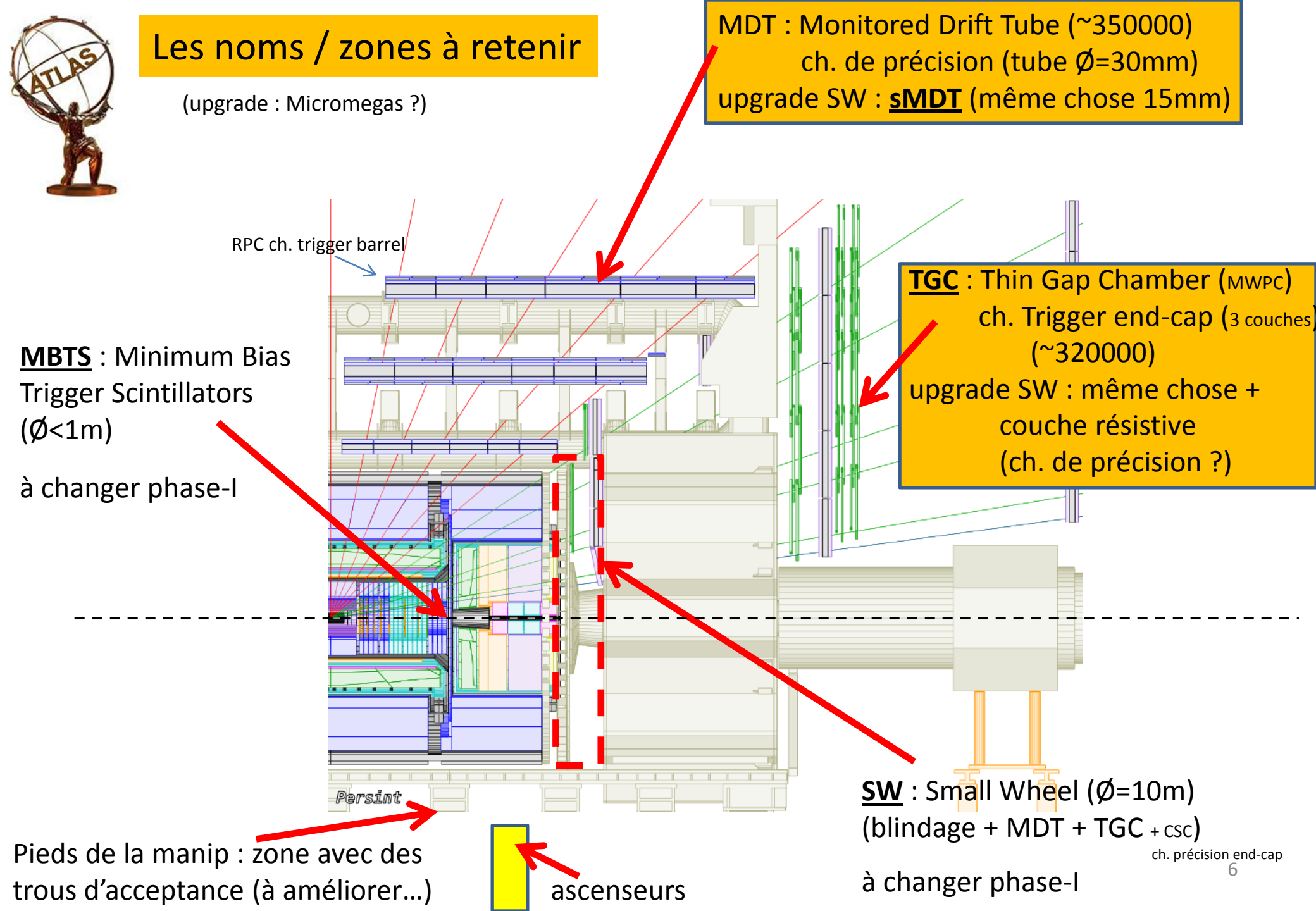
(incluant infos du détecteur interne, paramètre d'impact, χ^2 trace inner-muon spectro, etc.)

(aujourd'hui : L1 approche les 70 kHz et ~4% temps mort)

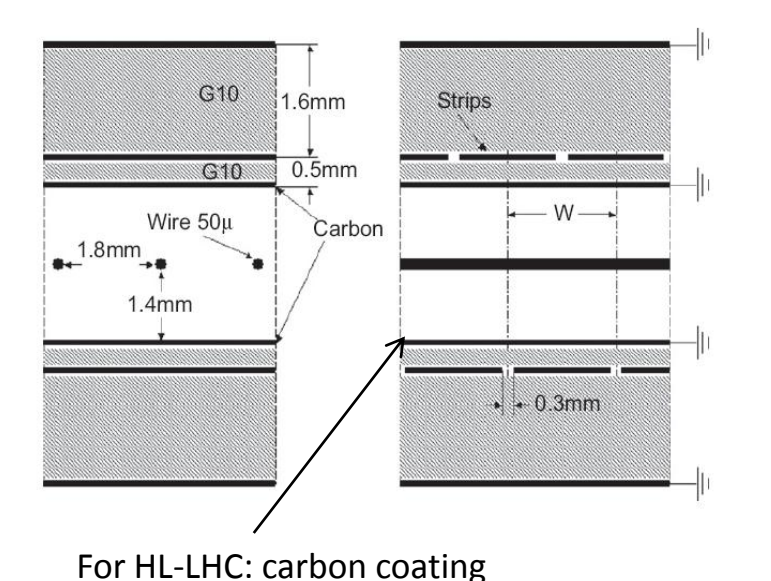
(*) L'effet dominant de la résolution en temps des détecteurs « rapides » est la fluctuation de la « première ionisation ». La résolution ultime est de l'ordre de 2 ns. (**) Les détecteurs de traces ont une résolution par « layer » de ~100 microns.



Sur bande : muon stream ~100 阳호



Options concurrentes: TGC



Thin Gap Chamber (Opal) = MWPC mode quasi-saturé CO_2 :n- C_5H_{12} 55:45 (- sensible au gap)

Résolution temporelle ~5ns

Déjà dans Atlas :

+ 2nd coordonnée

~320000 canaux (pas de fils cassés)

Fils regroupés en paquet (trigger; résolution – critiques)

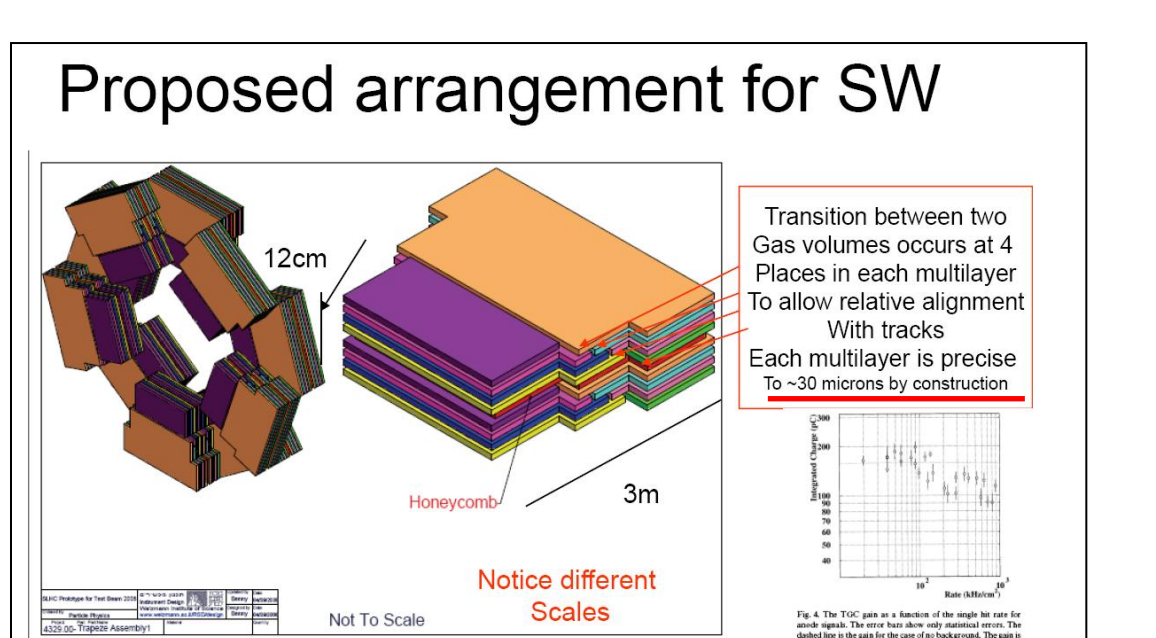
Upgrade:

possibilité de lire : fils + *strip* dessus + *pad* dessous Couche résistive => pas de claquage jusqu'à 20kHz/cm²

(NIM-A 628 (2011) 177... analyse dépôts sur les fils, etc.)

Résolution ~150 microns pour strip de 3mm (1/20!)

2 prototypes ~échelle 1 construit (assemblable)





Options concurrentes : *small tube* MDT (\emptyset =15mm)

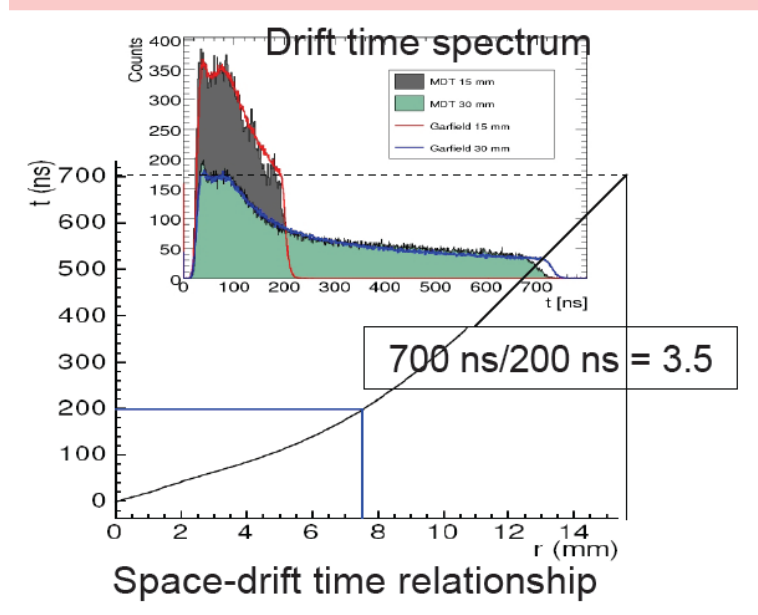
H.Kroha (MPI), Elbe, 26/05/2009

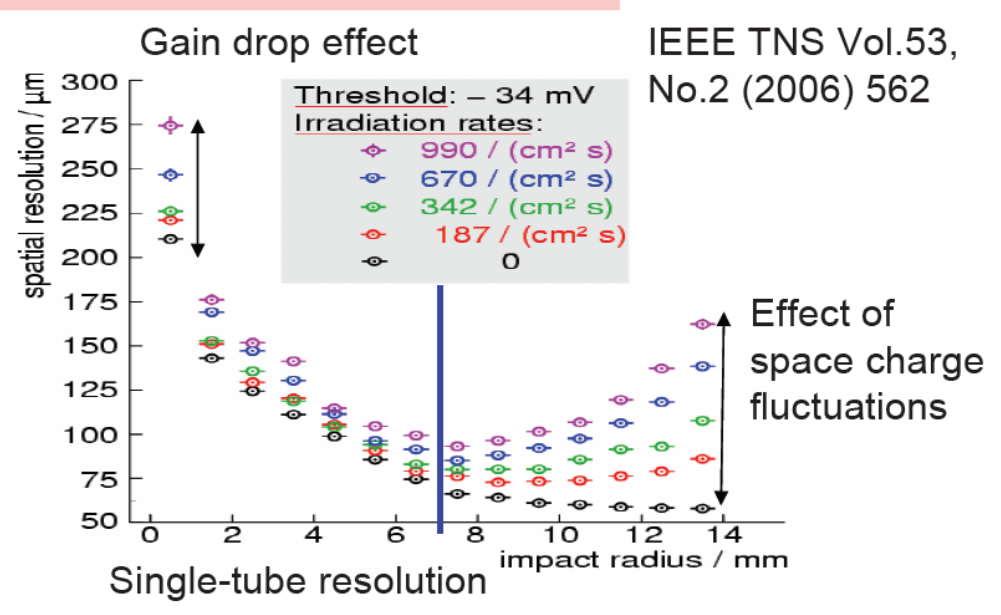
- sont à la limite (charge intégrée) si safety factor x5 ?
- ne peuvent pas servir de trigger L1 (sauf à rallonger le temps –Phase-II)

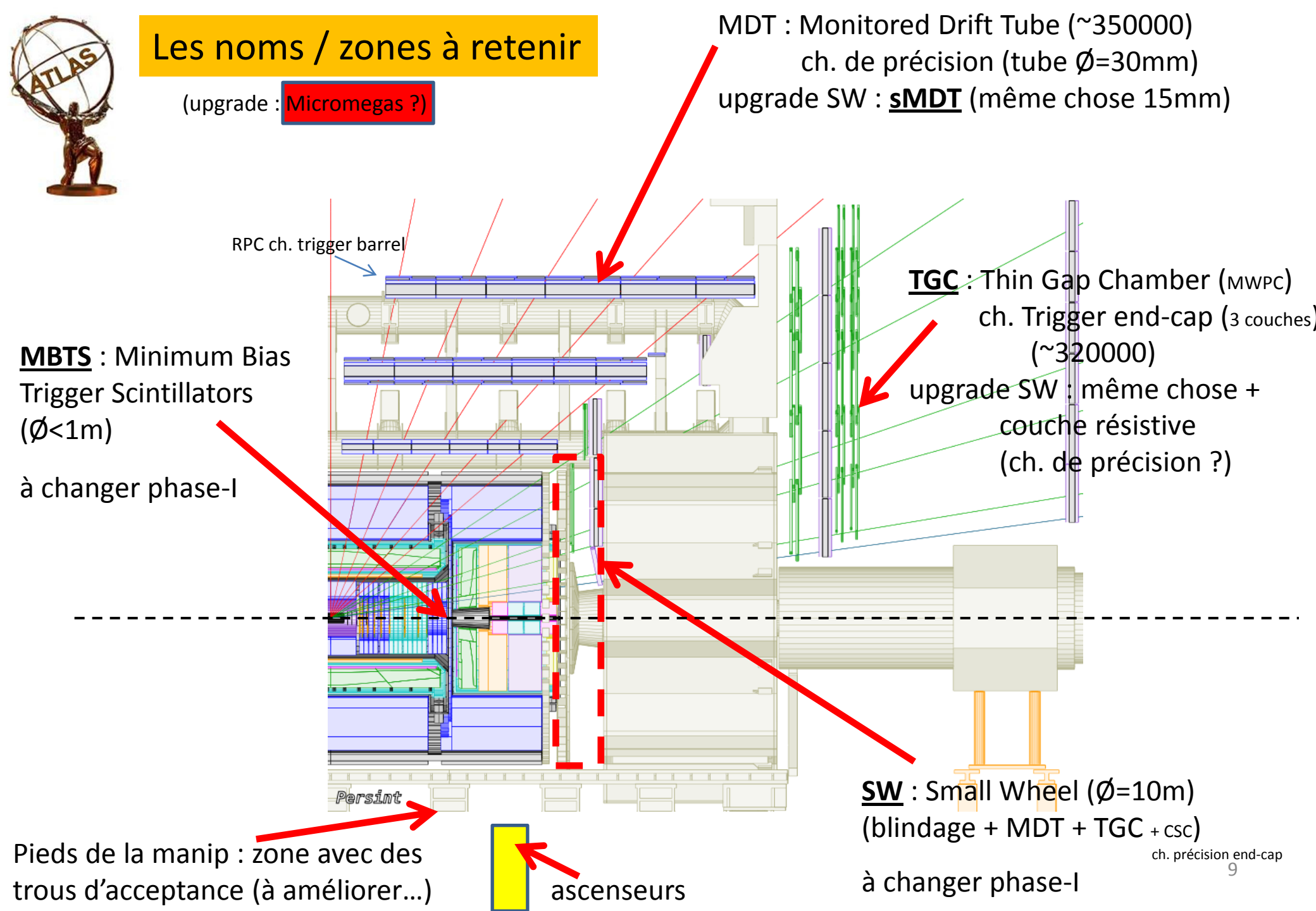
Baseline: 15 mm instead of 30 mm \emptyset tubes, with tube length, drift gas and gas gain unchanged (i.e. 2730 V op. voltage):

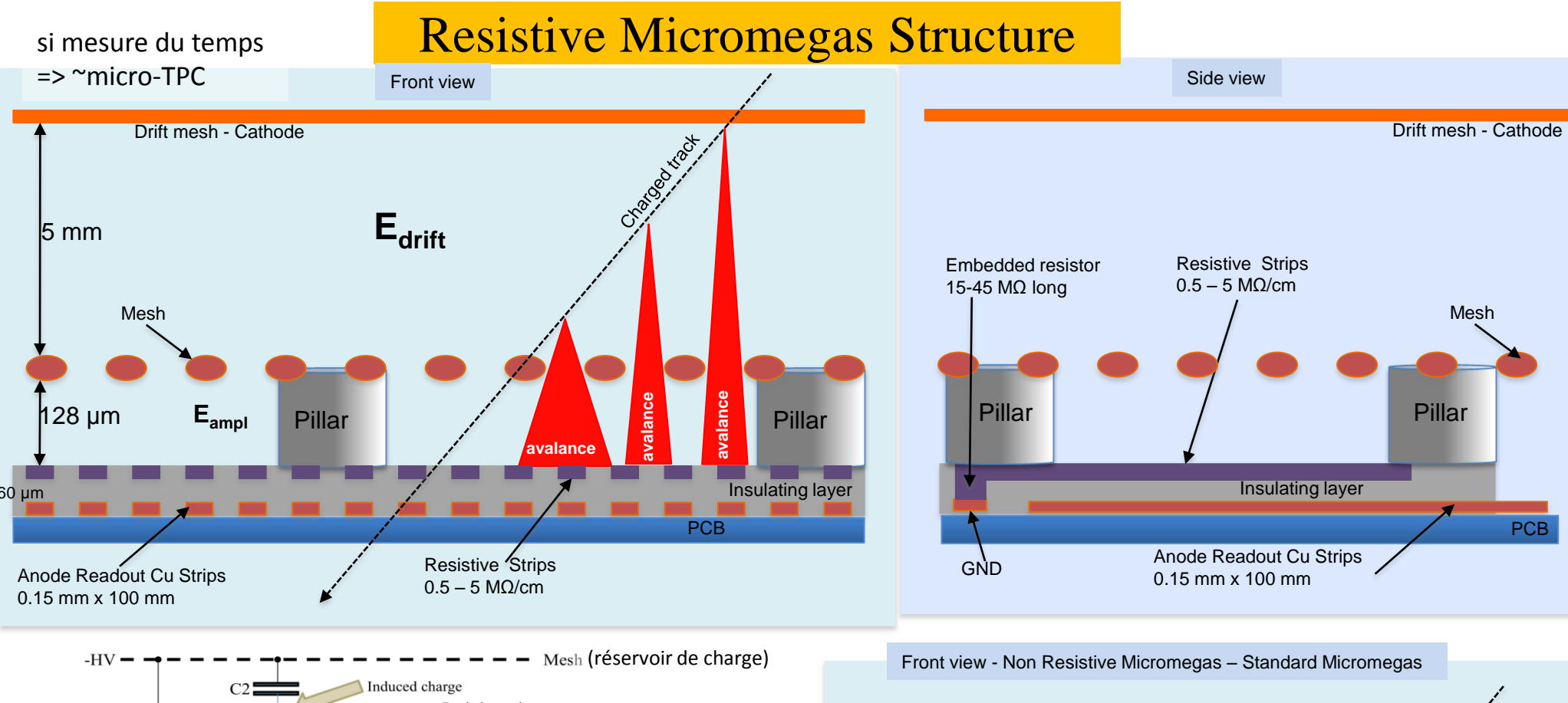
- Occupancy proportional to max. drift time: 3.5 x smaller.
- □ Tube counting rate ~ tube circumference: 2.0 x smaller.
 Occupancy 7 x smaller in total!
- ☐ Gain drop (due to space charge) ~ tube radius $R^3 \ln(R/R_{wire})$: 10 x less.
- Degradation of spatial resolution due to radiation induced space charge fluctuations (non-linear r-t-relationship) and gain drop strongly reduced.

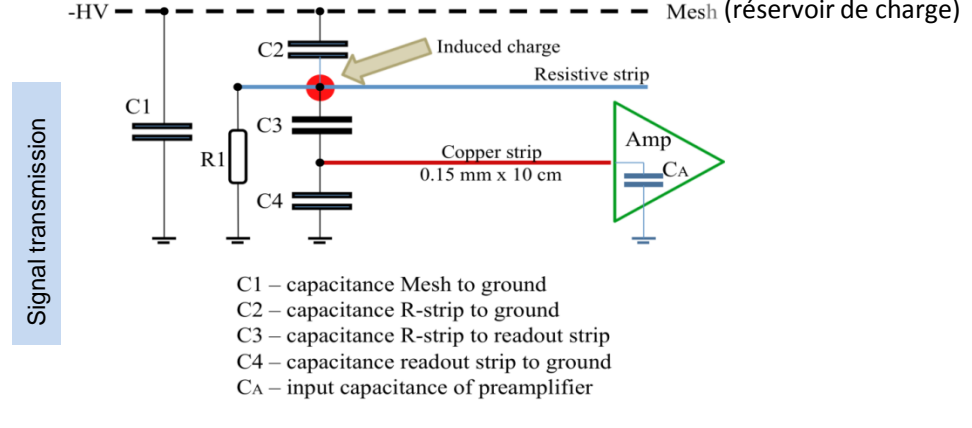




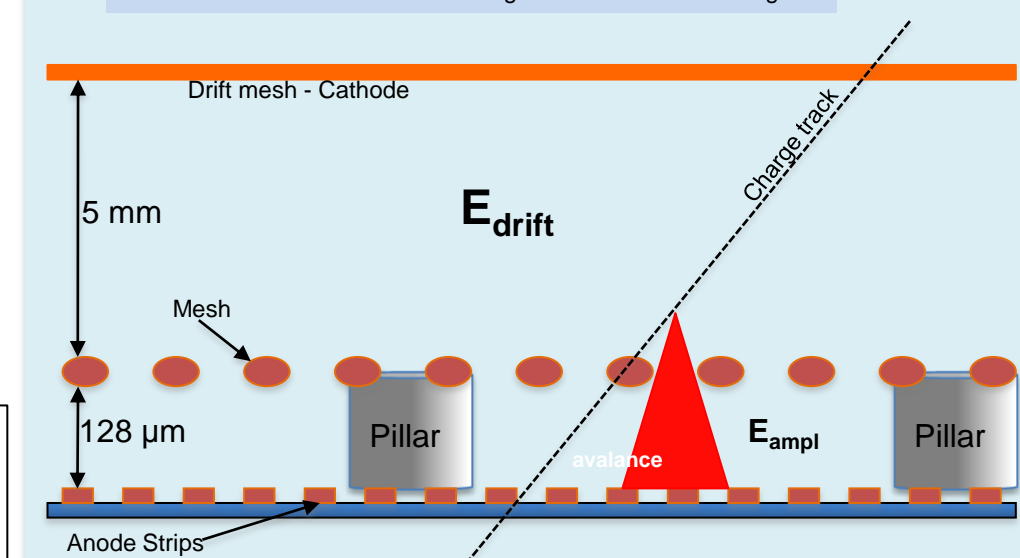








- Introduction d'un RC suffisant (~100 μs ?) pour étaler en temps (et en espace) le développement de l'avalanche.
- Si strip-readout croisés (~2D) signaux à diff. temps sur les strips.



Neutron beam test



MM mesh currents in neutron beam 8 MeV

Gas: Ar:CO₂ (85:15) Neutron flux: $\approx 1.5 \times 10^6 \text{ n/cm}^2 \text{ s}$

Standard MM:

Large currents

Large HV drops, recovery time O(1s)

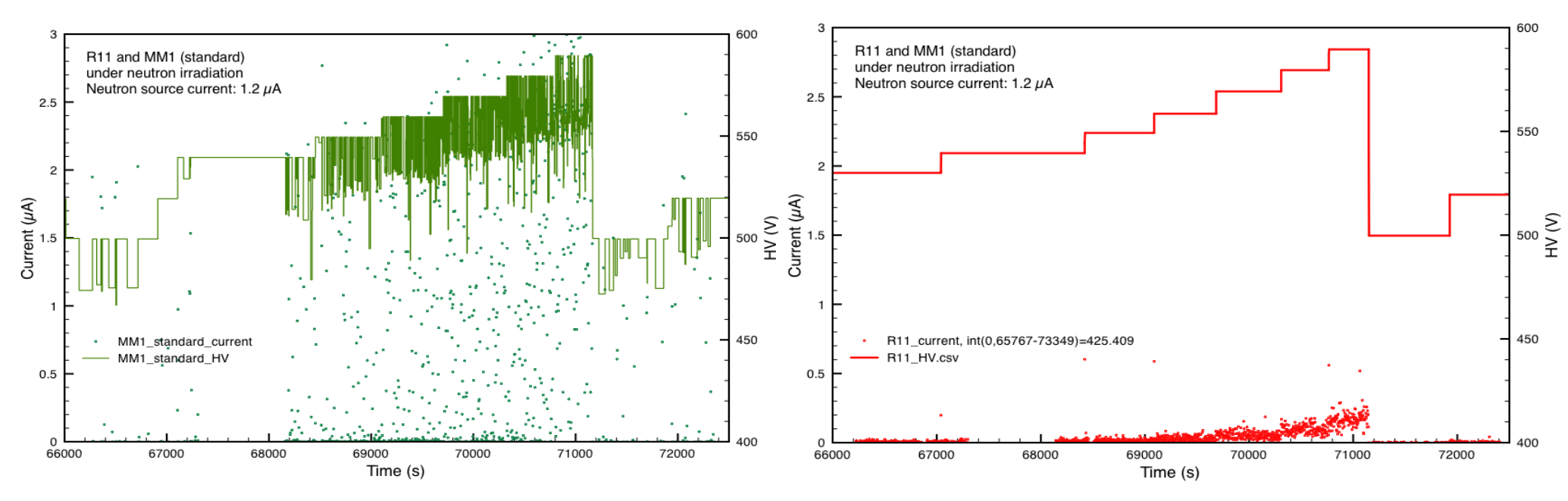
Chamber could not be operated stably

R11:

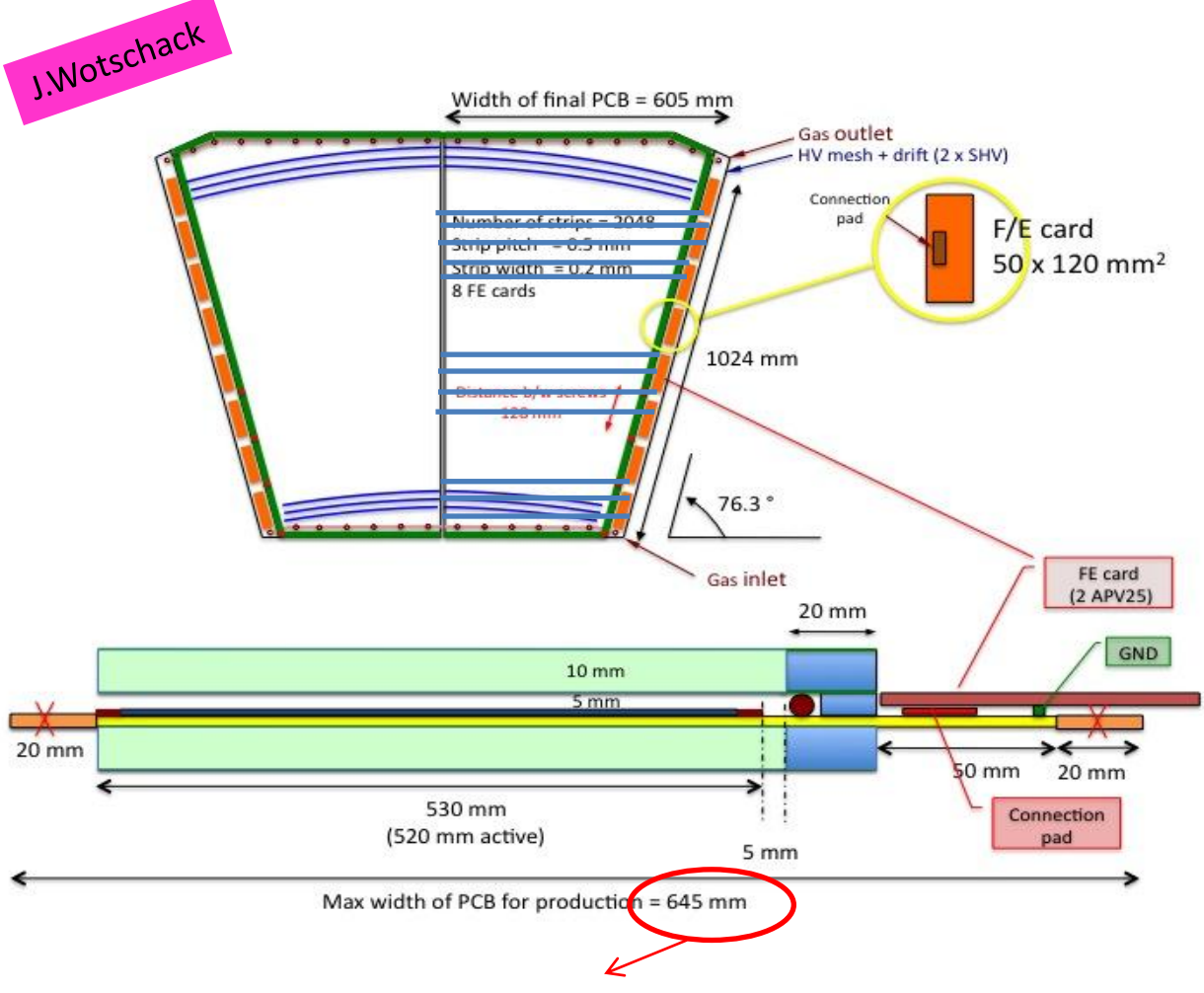
Low currents

Despite discharges, but no HV drop

Chamber operated stably up to max HV



Micromegas (half-size) Chamber



- Passera à ~1m avec l'achat de nouvelle machine
- Problème de long strip : capa des strip (< 1pF / cm)
- strips en deux partie : localement x2 nombre de canaux
- small-Wheel: entre 0,5 et 2 millions de canaux
- Une question importante a laquelle il faut répondre :
- « industrialisation de la production du bulk + grille »?



MicroMegas readout chip design



Actuellement uniquement : front-end + seuillage

- BNL design with the following features :
 - Data Driven System with Peak Amplitude and Time Detection
 - On-detector zero suppression, dramatic reduction of data bandwidth
 - Neighbor-channel enabling circuitry (allows for high thresholds without losing small amplitudes)
 - On-chip ADC (10-12 bits?)
 - Simultaneous read/write with built-in Derandomizing Buffers
 - 64 or 128 channels/chip to match detector element size
 - Able to provide Trigger Primitives for on-detector track finding logic
- Based on existing chip developed a few years ago for a TPC application
- Appropriate for a variety of detectors (mMegas, TGC, TPC, GEM, etc.)
 requiring amplitude and time measurement

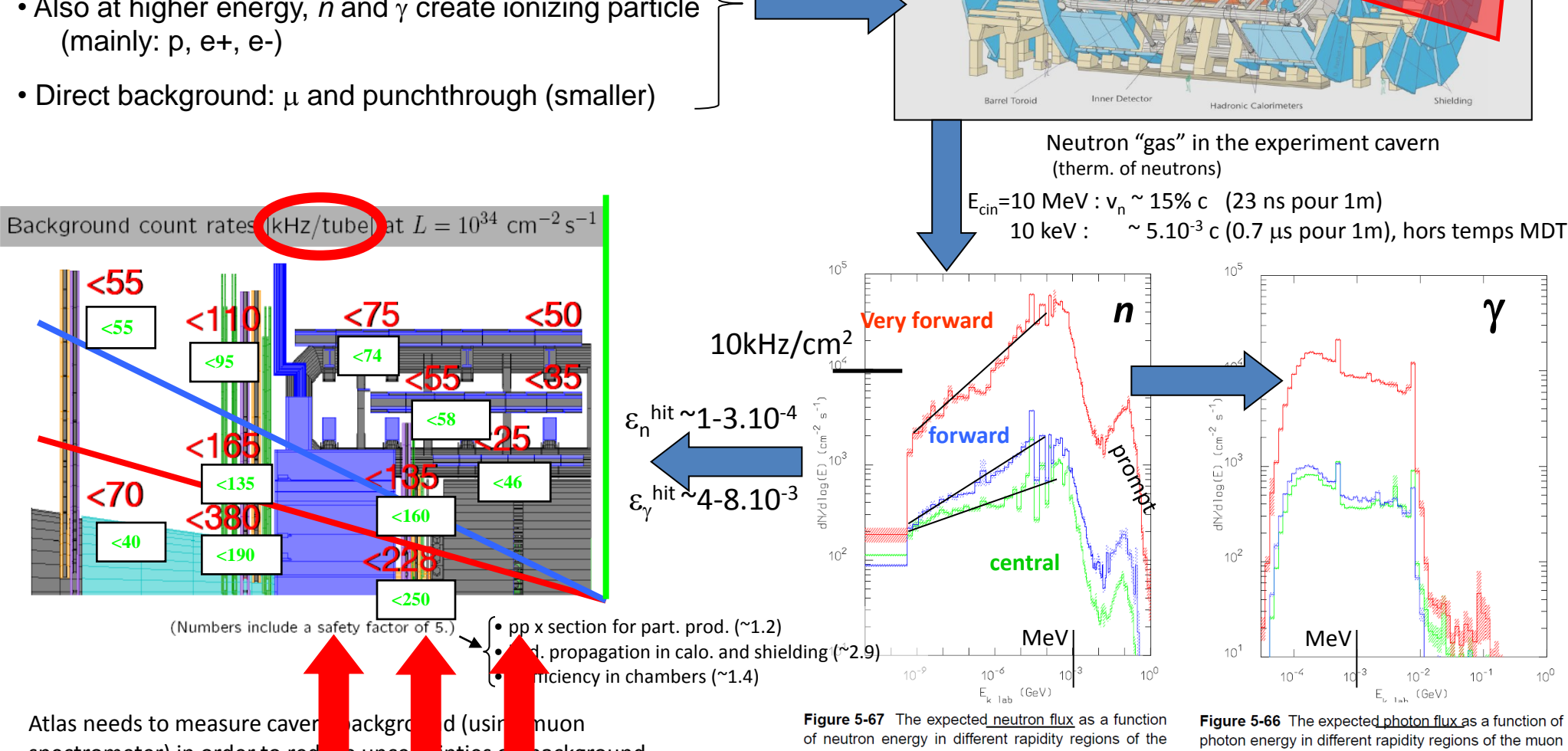
- Comment cela marche actuellement?
 - Quelles techniques et où?
- → Problème du bruit de fond
- Upgrade (*)
 - Les différentes options
- Test-beam
- Conclusions

Background in Atlas cavern

Background comes from residues of p-p interactions

(through spallation process):

- Huge production of *neutrons*, thus creating γ , thus creating e, etc...
- Also at higher energy, n and γ create ionizing particle (mainly: p, e+, e-)



spectrometer) in order to red nties d background e unce for s-LHC.

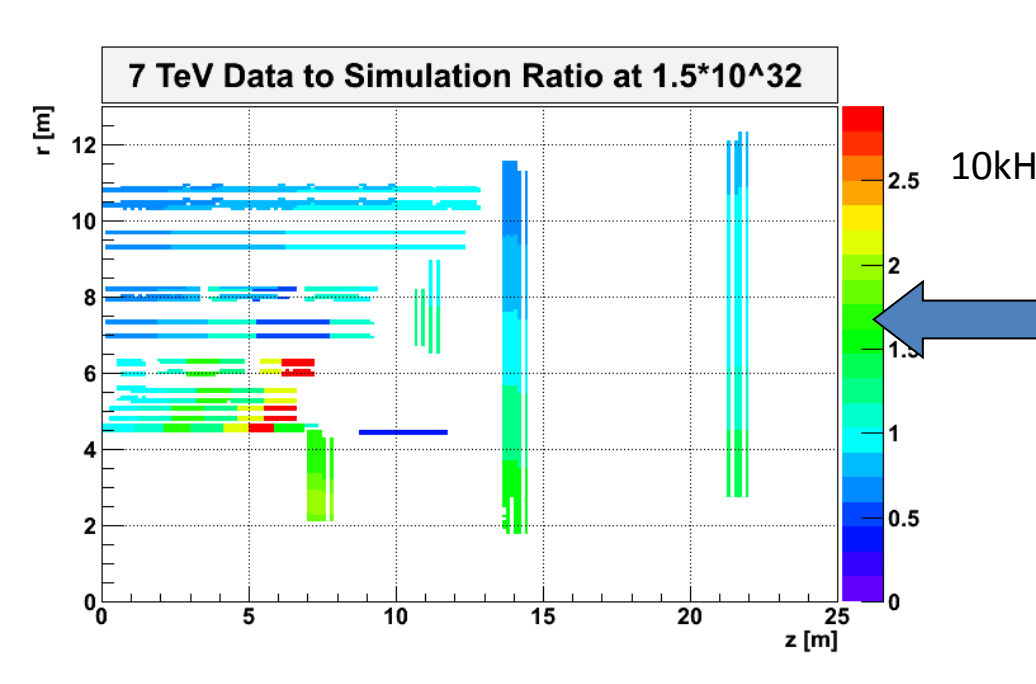
muon spectrometer (top curve: $2.3 < \eta < 2.7$, middle curve: 1.4 < n < 2.3 and bottom curve: n < 1.4).

spectrometer (top curve: $2.3 < \eta < 2.7$) middle curve: $1.4 < \eta < 2.3$ and bottom curve: $\eta < 1.4$).

Background in Atlas cavern

Background comes from residues of p-p interactions (through spallation process):

- Huge production of *neutrons*, thus creating γ , thus creating e, etc...
- Also at higher energy, n and γ create ionizing particle (mainly: p, e+, e-)
- Direct background: μ and punchthrough (smaller)



(plutôt ~ x3 ?)

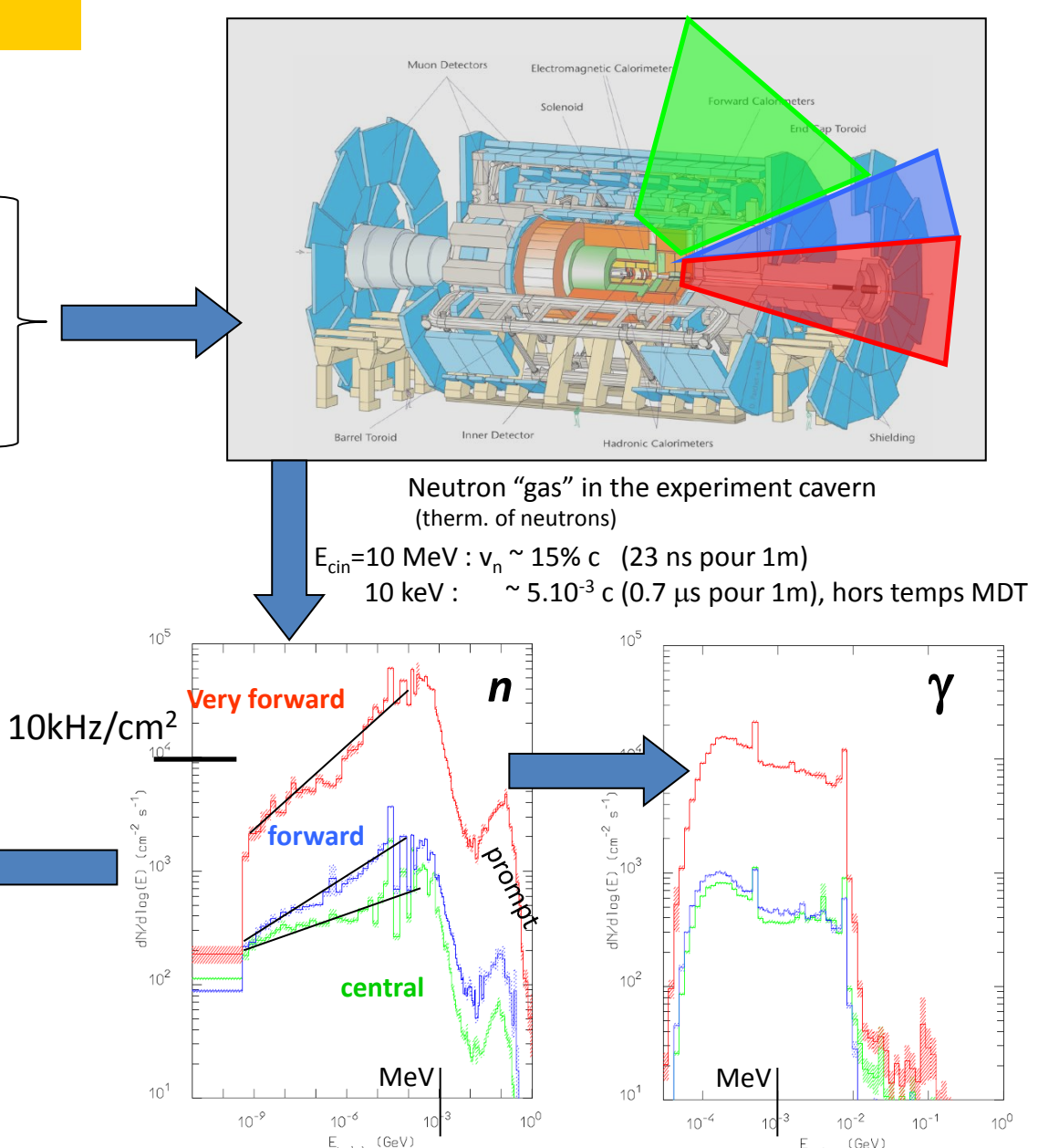
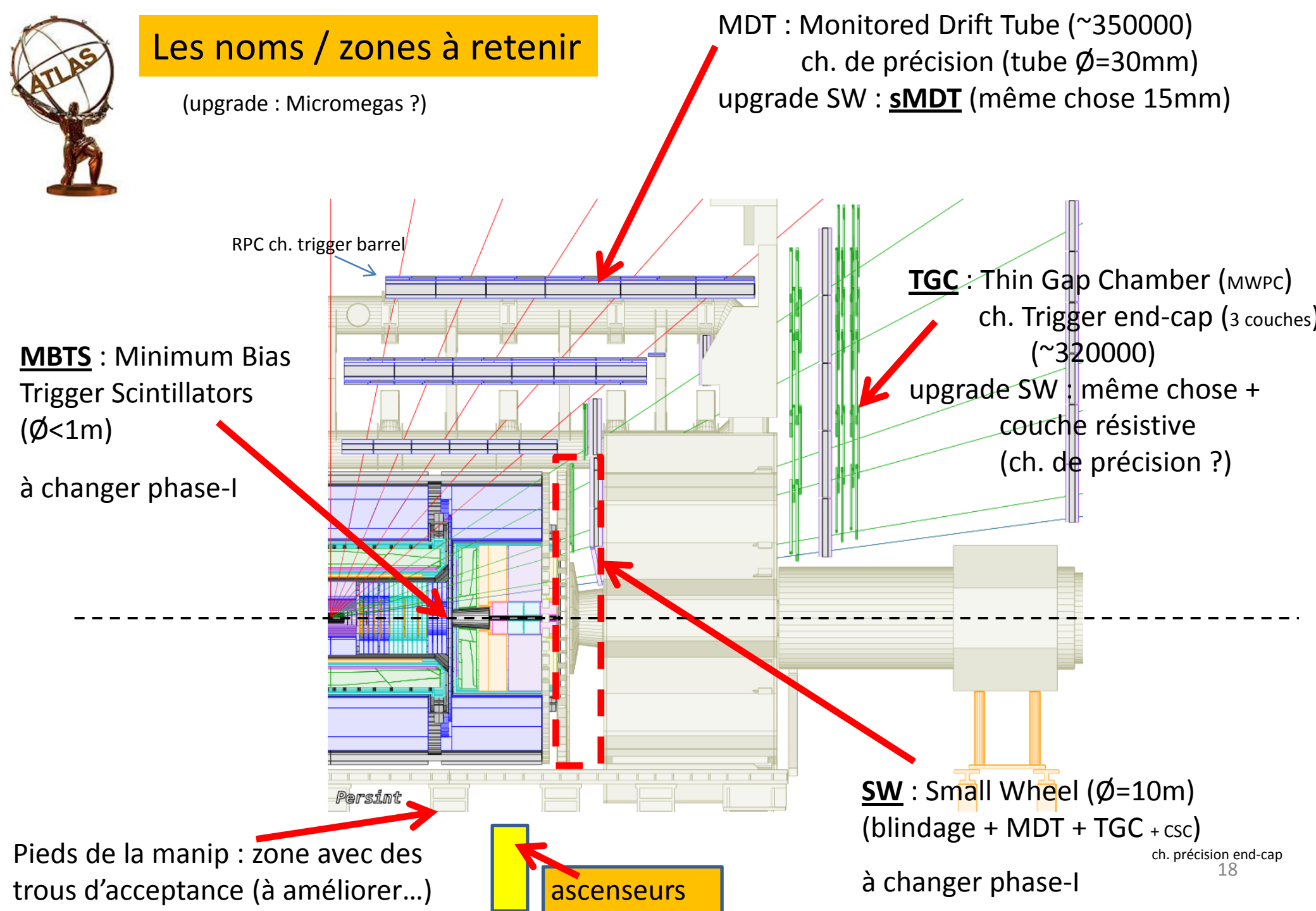


Figure 5-67 The expected neutron flux as a function of neutron energy in different rapidity regions of the muon spectrometer (top curve: $2.3 < \eta < 2.7$, middle curve: 1.4 < n < 2.3 and bottom curve: n < 1.4).

Figure 5-66 The expected photon flux as a function of photon energy in different rapidity regions of the muon spectrometer (top curve: $2.3 < \eta < 2.71$ middle curve: $1.4 < \eta < 2.3$ and bottom curve: $\eta < 1.4$).

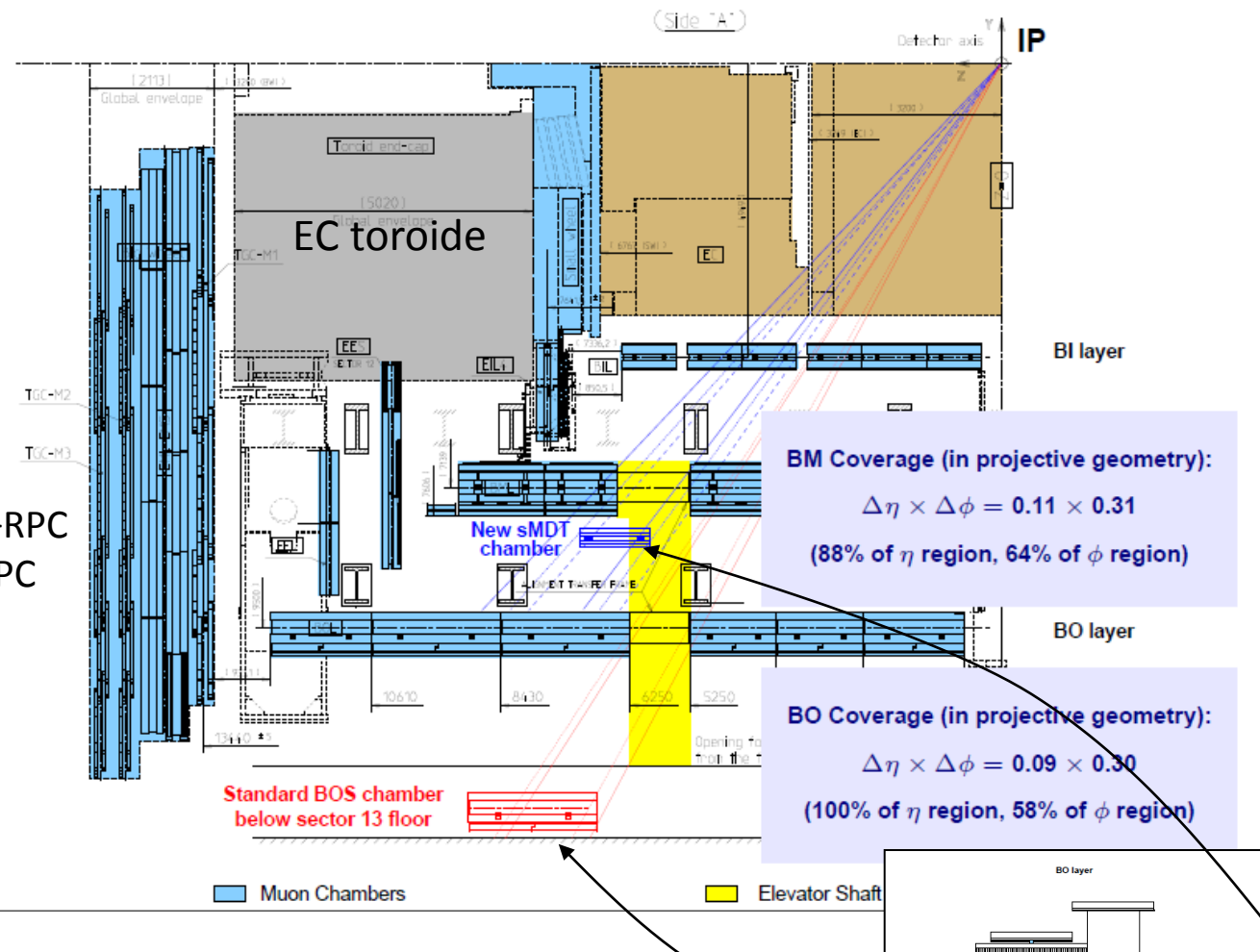
- Comment cela marche actuellement?
 - Quelles techniques et où?
- Problème du bruit de fond
- Upgrade (*)
 - Les différentes options
- Test-beam
- Conclusions





sMDT: small-tube chambers

Layout



 Layer
 Tracking (3rd station)
 Low-p_T Trigger
 High-p_T Trigger

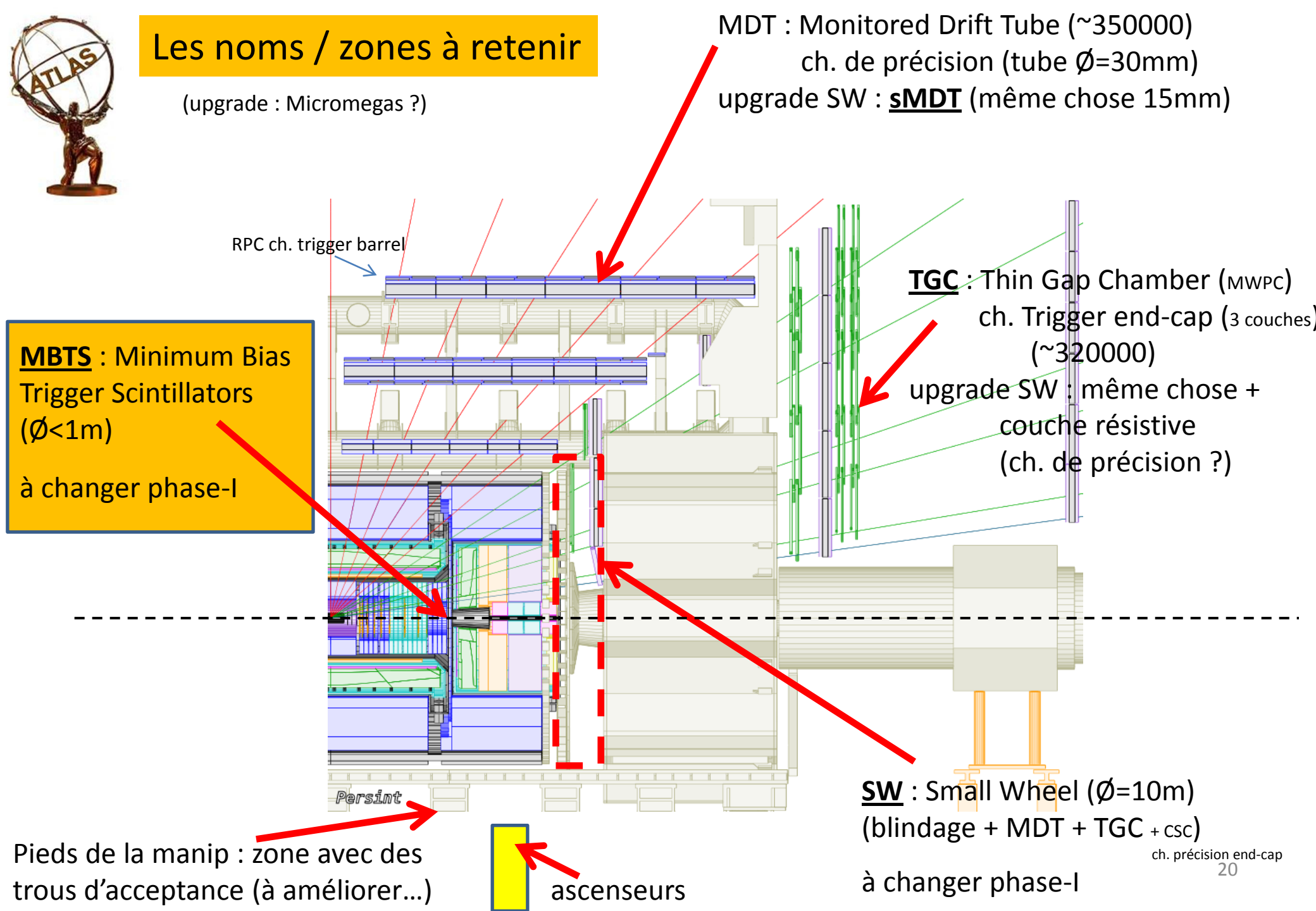
 BO
 0.11 × 0.31 (0.51%)
 —
 0.10 × 0.29 (0.41%)

 BM
 0.09 × 0.30 (0.40%)
 0.10 × 0.31 (0.45%)
 0.10 × 0.31 (0.45%)

 Total
 0.91%
 0.45%
 0.86%

<u>Vue de dessus</u>

Figure 4: Layout of the new muon stations. View in the x-z plane. The BO (left) and BM (right) layers have been drawn separately for better visibility. The elevator shaft is marked in yellow.



Minimum Bias Trigger Scintillators

Collision Event at 7 TeV

ATLAS

DEFFERMENT
HISTORY SELECTION
TO COMMON TO C

- Late add-on in front of the LAr Cryostat
- 2x16 scintillator paddles, will be used for initial running only, usefulness limited to early running by both pile-up (all BCs will trigger) and by anticipated radiation damage to Scintillators
- Readout through TileCal trigger elx
- Rapidity coverage 2.1 to 3.8

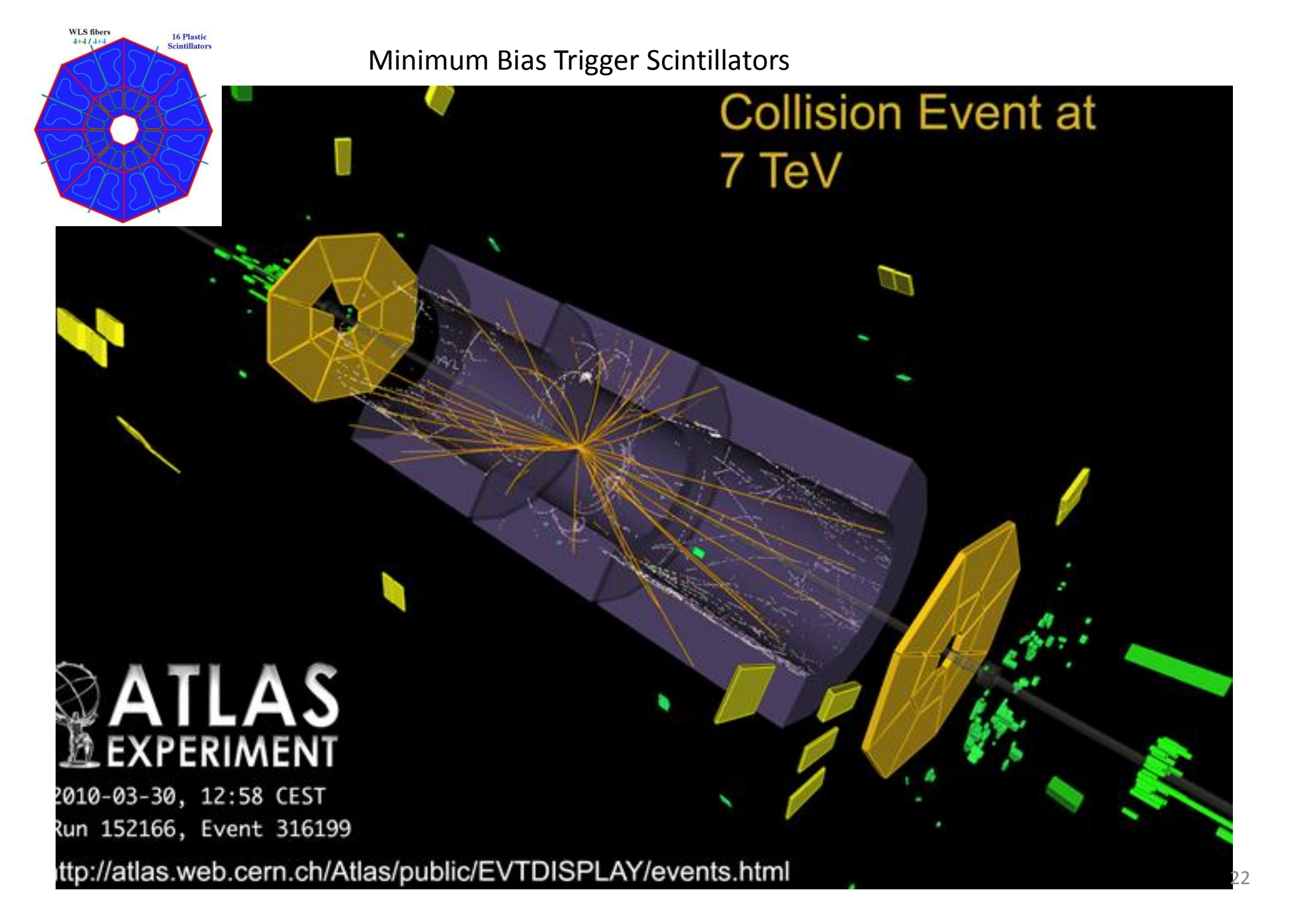
Appears to be very useful!

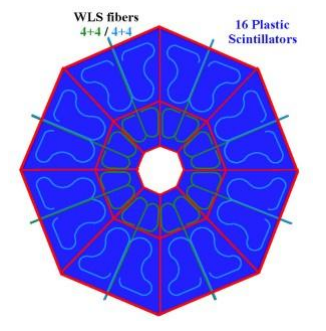
(for trigger/physics analyses)

To be replaced for HL-LHC

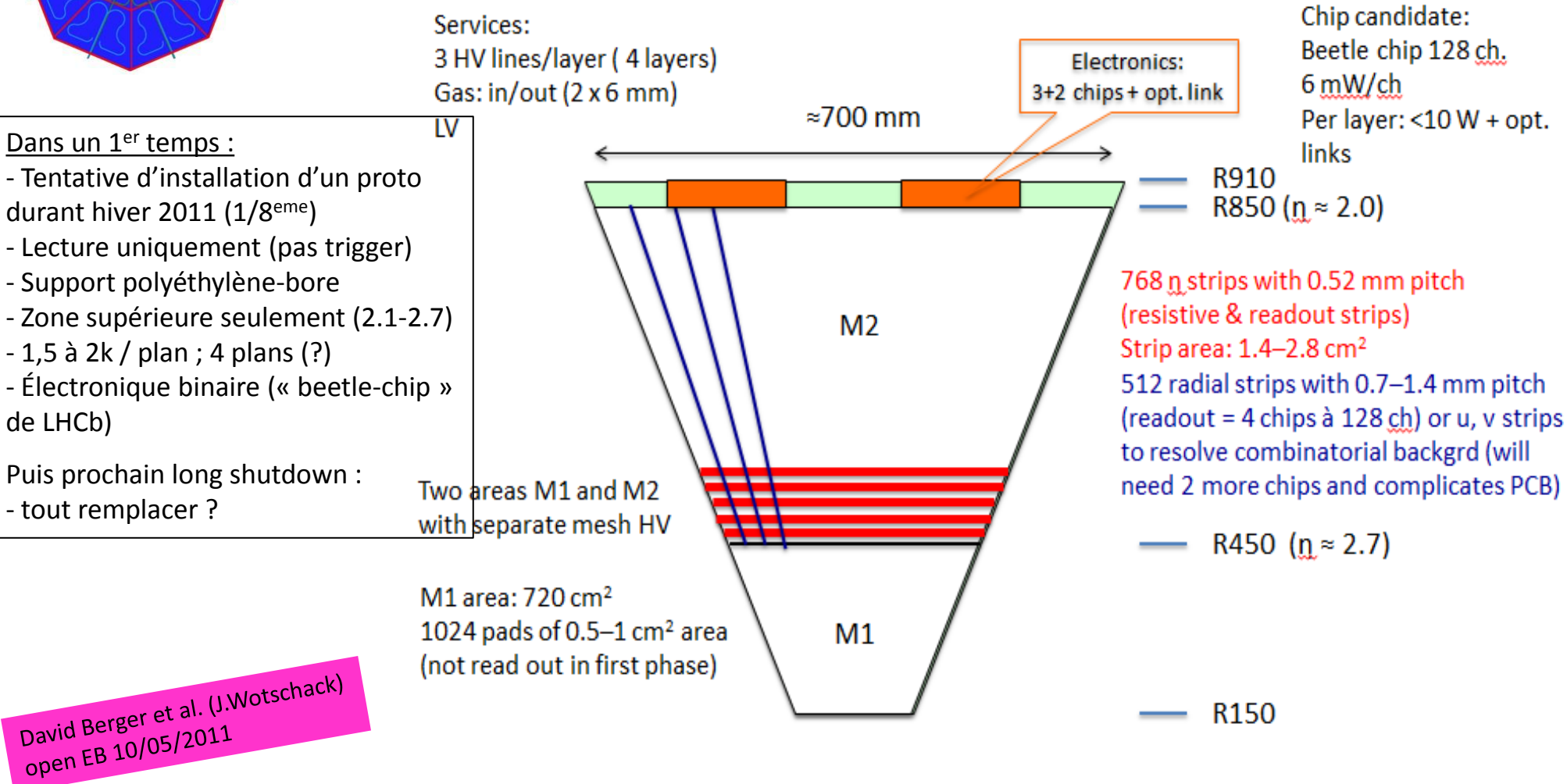
88cm 3.6m 3.6m David Berge for the MBTS crew ATLAS Week

Area totale (A+C sides) ~ 5 m² A changer « bientôt »...

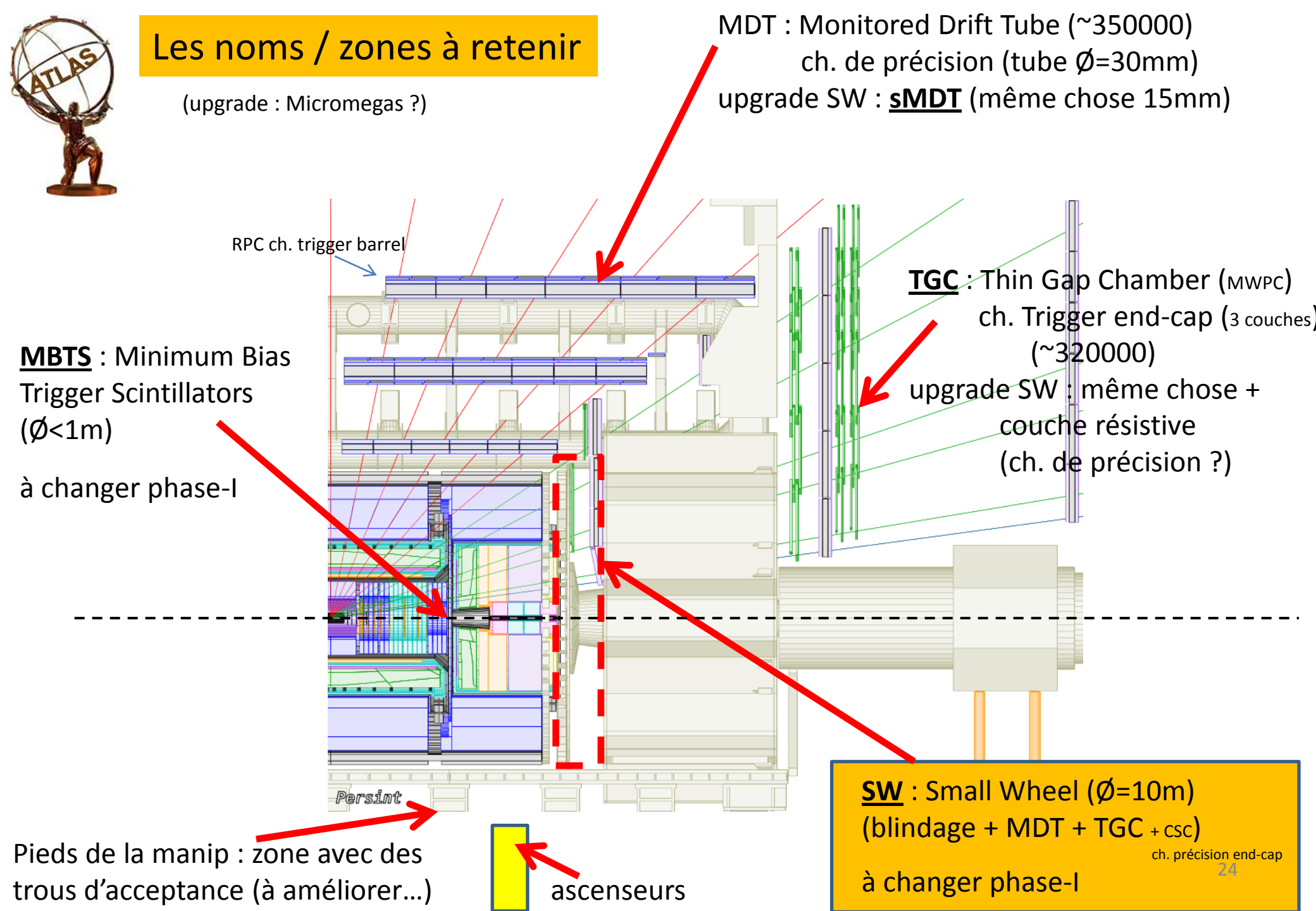


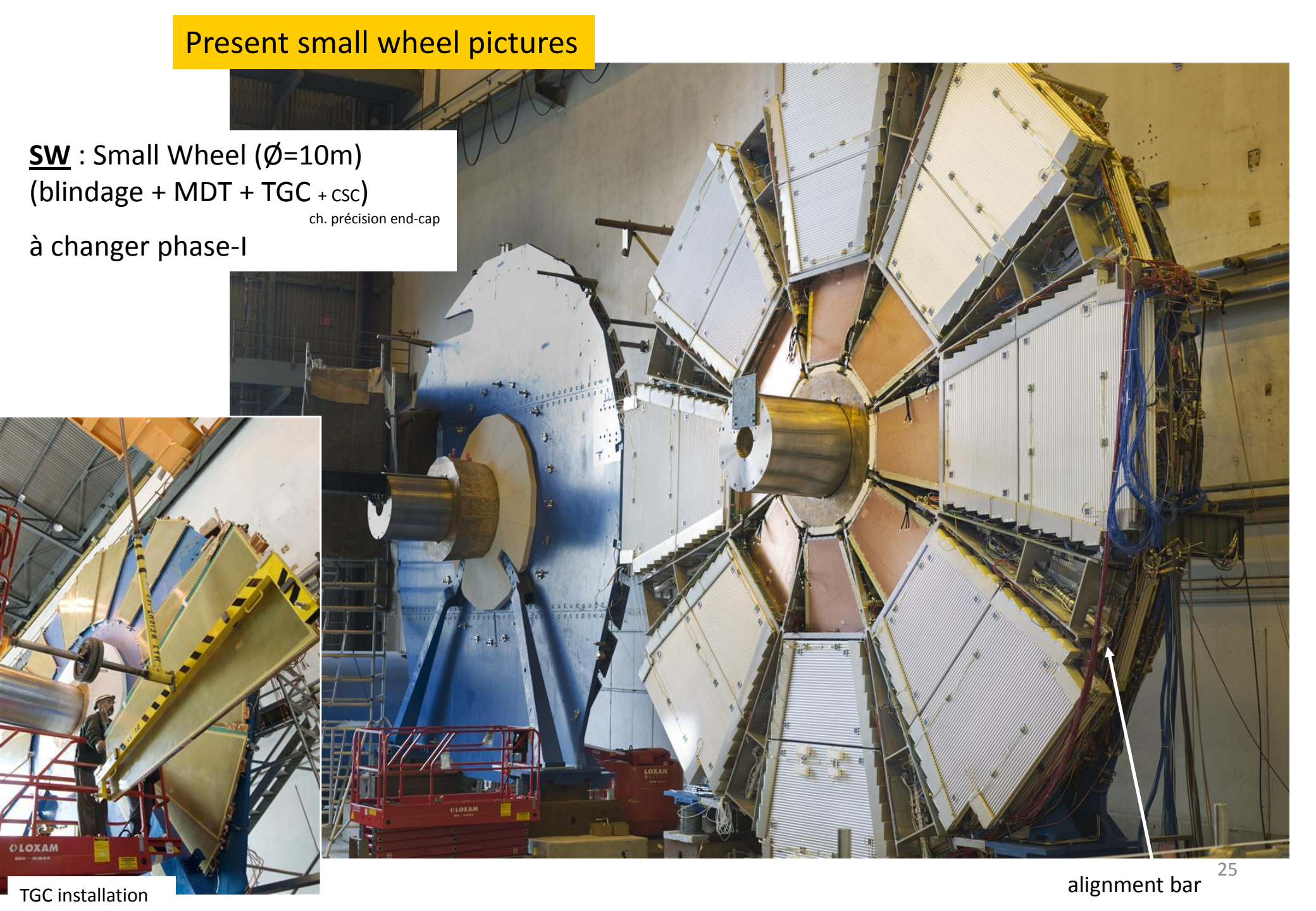


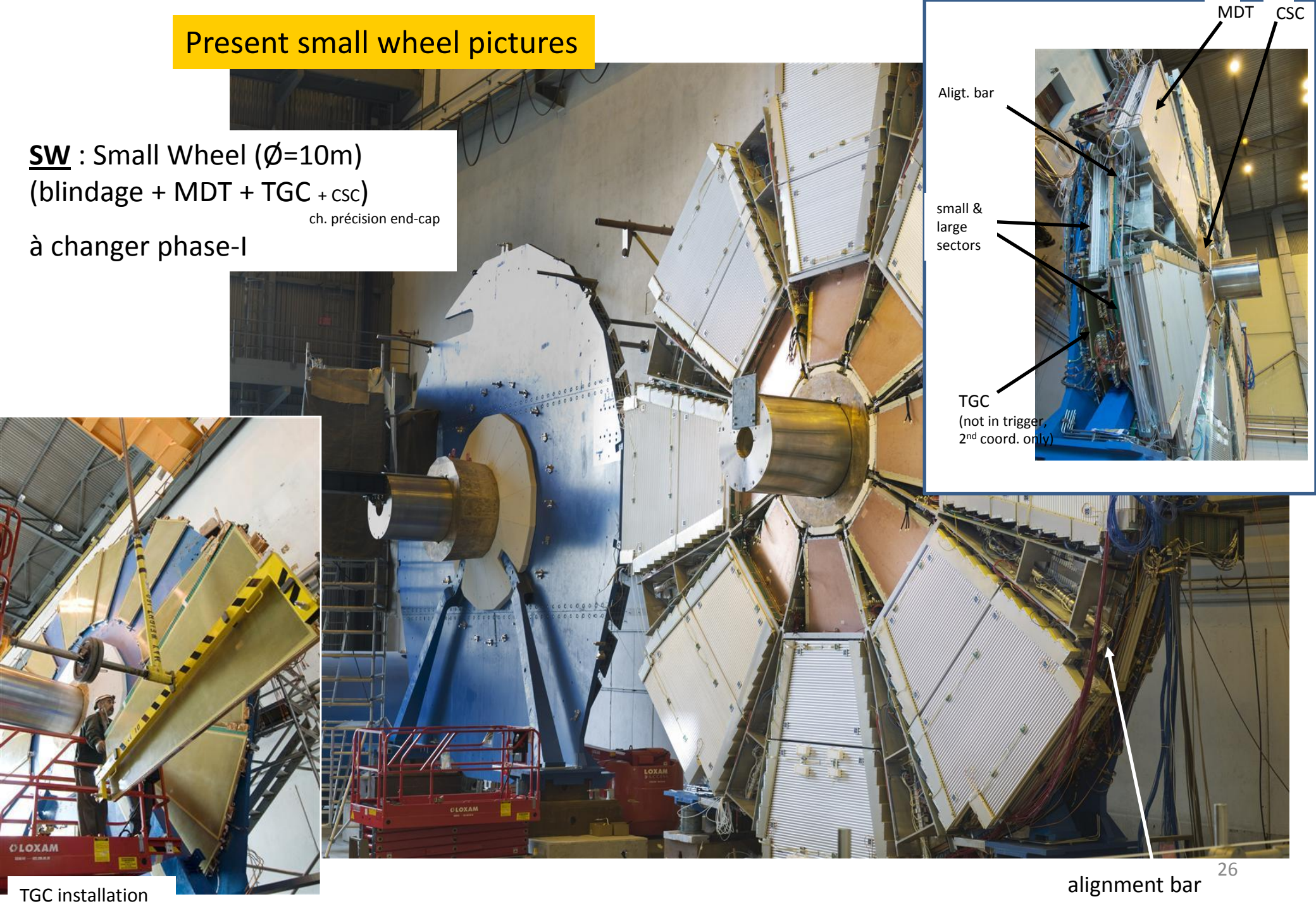
Sketch of Replacement Chamber for 2011/2012



David Berge - CERN



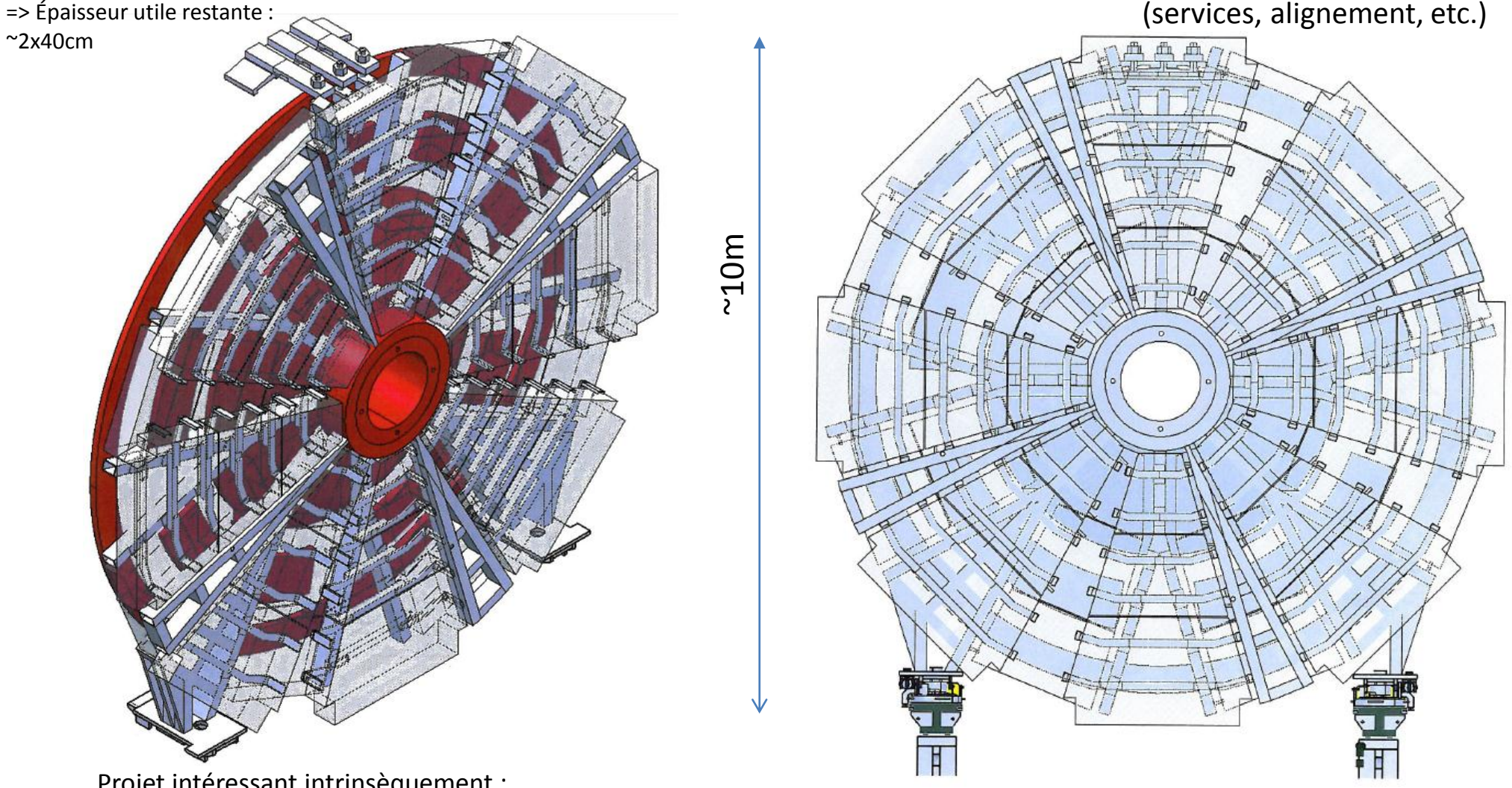




+ rajout d'une couche de blindage en polyéthylène? SIS, Seb.H.

Étape 1 : définir une chambre Micromegas Étape 2 : intégration dans la nouvelle SW

(services, alignement, etc.)



Projet intéressant intrinsèquement :

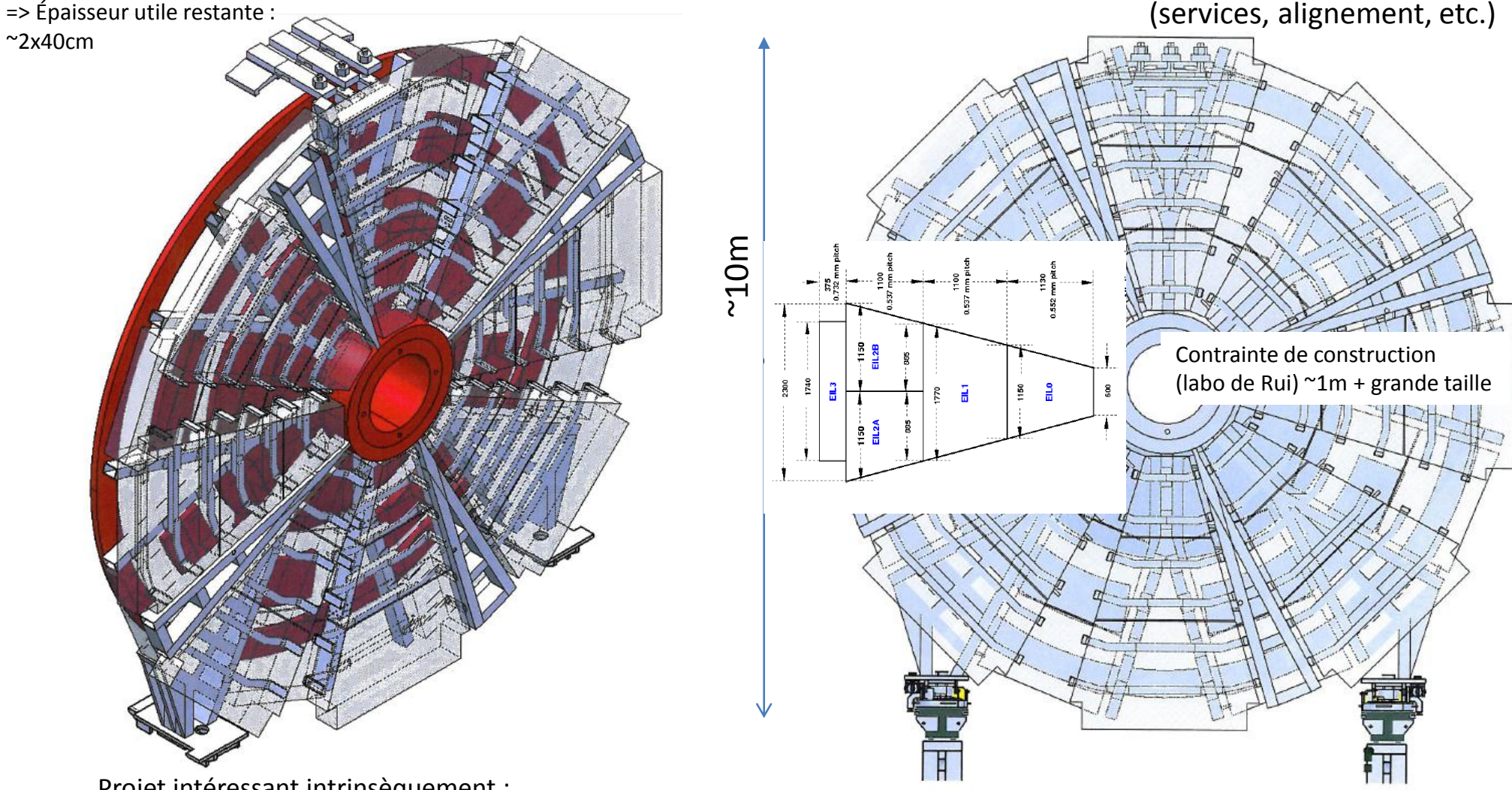
premier dessin d'une « chambre » multicouches 2x 2 doublet tête-bêche de Micromegas ; taille ~1 m2 (problème de distribution de gaz, déformation du PCB (+ nid d'abeille ?), thermique, longueur strips -capa-, etc.)

Quelque soit l'issu dans Atlas, ces études pourront servir au design d'une chambre Micromegas utilisable par d'autres expériences...

+ rajout d'une couche de blindage en polyéthylène?

Étape 1 : définir une chambre Micromegas Étape 2 : intégration dans la nouvelle SW

(services, alignement, etc.)



Projet intéressant intrinsèquement :

premier dessin d'une « chambre » multicouches de type Micromegas ; taille ~1 m2 (problème de distribution de gaz, déformation du PCB (+ nid d'abeille ?), thermique, longueur strips -capa-, etc.)

Quelque soit l'issu dans Atlas, ces études pourront servir au design d'une chambre Micromegas utilisable par d'autres expériences...

+ rajout d'une couche de blindage en polyéthylène ? SIS, Seb.H.

Étape 1 : définir une chambre Micromegas

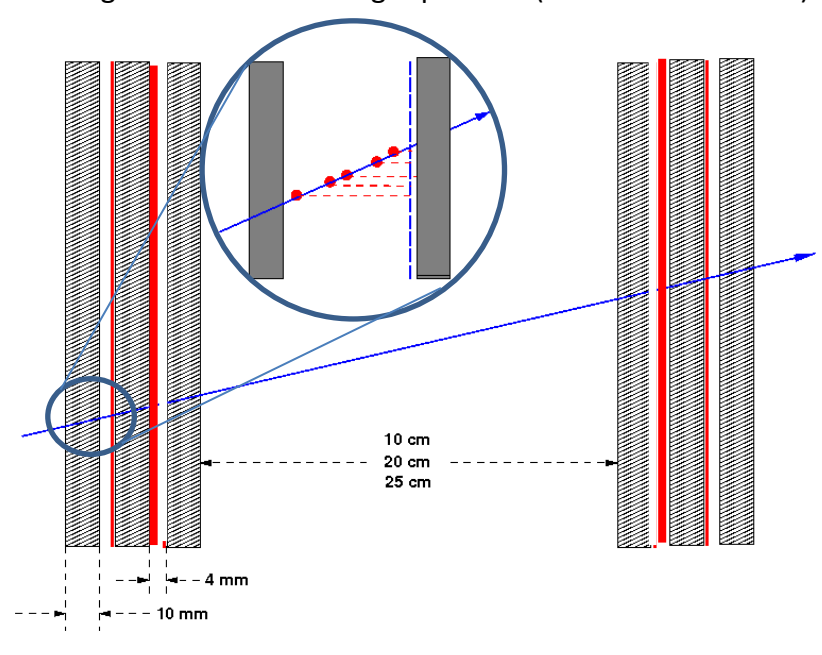
Étape 2 : intégration dans la nouvelle SW

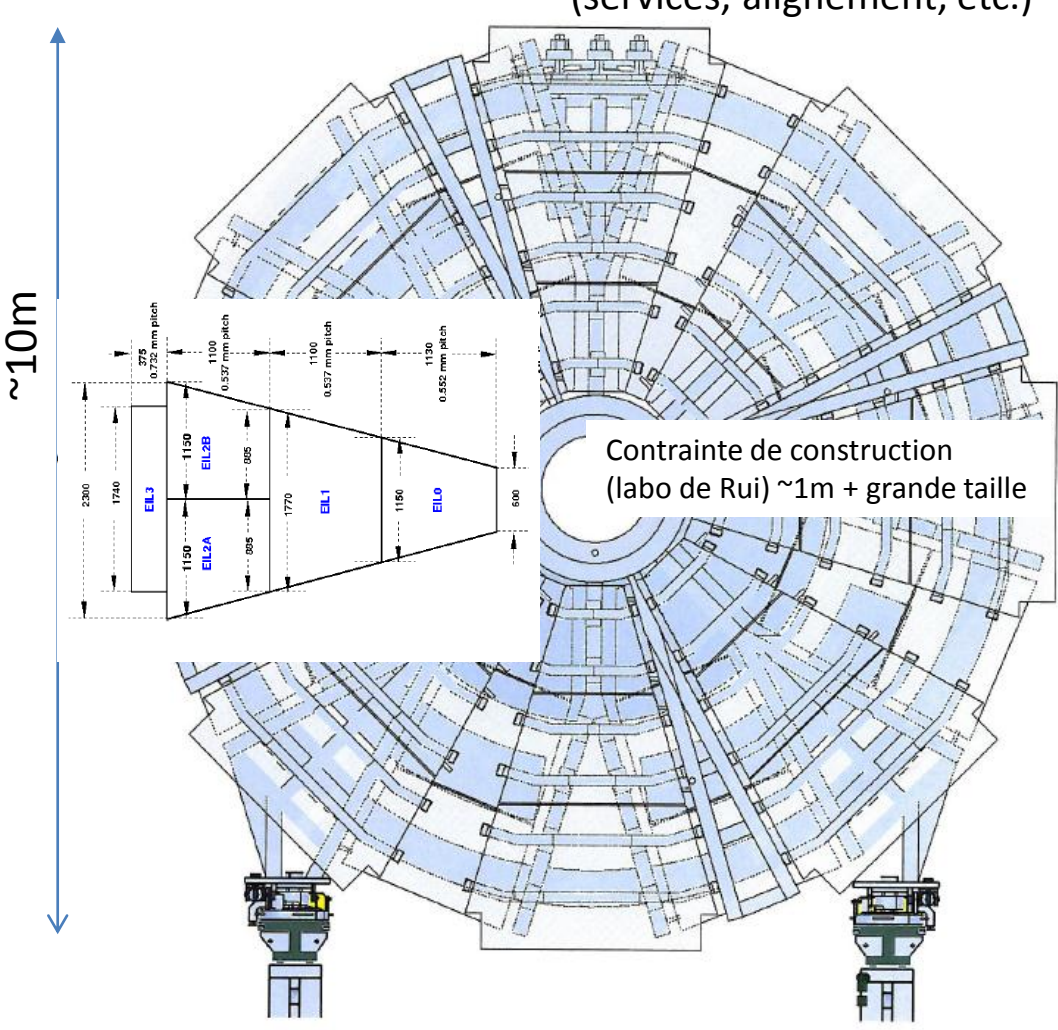
(services, alignement, etc.)

=> Épaisseur utile restante :

~2x40cm

Agencement Micromegas possible (en mode micro-TPC):





<u>Projet intéressant intrinsèquement :</u>

premier dessin d'une « chambre » multicouches de type Micromegas ; taille ~1 m2 (problème de distribution de gaz, déformation du PCB (+ nid d'abeille ?), thermique, longueur strips -capa-, etc.)

Quelque soit l'issu dans Atlas, ces études pourront servir au design d'une chambre Micromegas utilisable par d'autres expériences...

<u>Cahier des charges</u> petites roues SW (ici trigger)

Requirements on the new small wheel detector

Draft 0.1 05.05.2011

The primary purpose of this note is to provide a common and agreed upon reference for inviting proposals of new small wheel concept. This is also meant to be a concise document describing our present idea of muon upgrade in the endcap region for high luminosity.

Evolving nature of this document should be understood. The requirements are clearly not exhaustive, and may be updated or more items added reflecting the progress in understanding the detail of required performance, and also in view of technical feasibility and other relevant points.

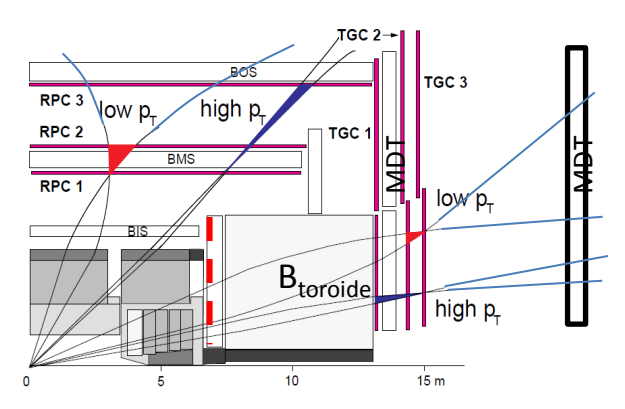


Figure 12-7 Level-1 muon-trigger scheme in the barrel and in the end-cap. The low- p_T trigger is based on two double layers of trigger chambers; the high- p_T trigger uses an additional double layer in the barrel and a triple layer in the end-cap. The shaded area represents the calorimeters and the absorber. Trajectories for positive and negative muons are shown.

$\label{eq:continuous} \mbox{Premier toy MC (V.Polychronakos):}$

Semble jouable : resolution $^{\circ}$ 0.5mm par layer (qquesoit angle) Eff $^{\circ}$ 100% si 3 ou 4 couches

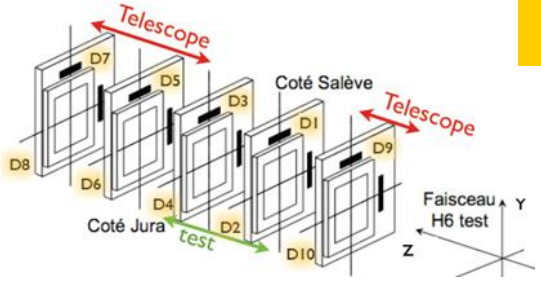
5 Level-1 trigger function

The small wheel detector and associated electronics should provide information for the L1 trigger upgrade in the endcap. The position and angle of small wheel segments are used to improve the quality of L1 high p_T decision by the big wheel TGCs.

- 1. The system should perform bunch-id and real-time reconstruction of track segments which are approximately pointing to the IP. The acceptance angle, in η and ϕ , should be optimised taking into account the expected angular range of good tracks from IP, detector alignment error, complexity of implementation and any physics requirements.
- 2. For each segment, a set of data $(R, \phi, \Delta\theta)$, or an equivalent set of information, should be provided. Here radial and azimuthal coordinates R and ϕ represent the position of the segment on small wheel at appropriately defined z coordinate Z. The quantity $\Delta\theta$ is a measure of how well the reconstructed segment is pointing to the nominal IP the difference of segment polar angle with respect to the angle $\tan^{-1}(R/Z)$.
- 3. The track segment data $(R, \phi, \Delta\theta)$ should be transmitted to the trigger logic of corresponding trigger sector(s), where final endcap L1 signal is constructed (sector logic). Details such as maximum number of segments, data format and data transfer protocol are to be defined in the framework of overall trigger electronics design.
- 4. Angular resolution of $\Delta\theta$ must be 1 milliradian (RMS) or better.
- 5. Granularity of R and ϕ information should be matched to the size of ROI of the present endcap trigger (about 0.04×0.04 in η - ϕ).
- 6. The $(R, \phi, \Delta\theta)$ information should arrive the input of sector logic not later than the arrival time of the main trigger inputs from the big wheel TGC. The delay of the TGC signal is at present 1.088 μ sec from the collision.
- 7. Efficiency of segment reconstruction should be high and robust. Rate of fake segments should be optimised so as not to affect significantly the trigger efficiency while maintaining good rejection power of fake L1 triggers.

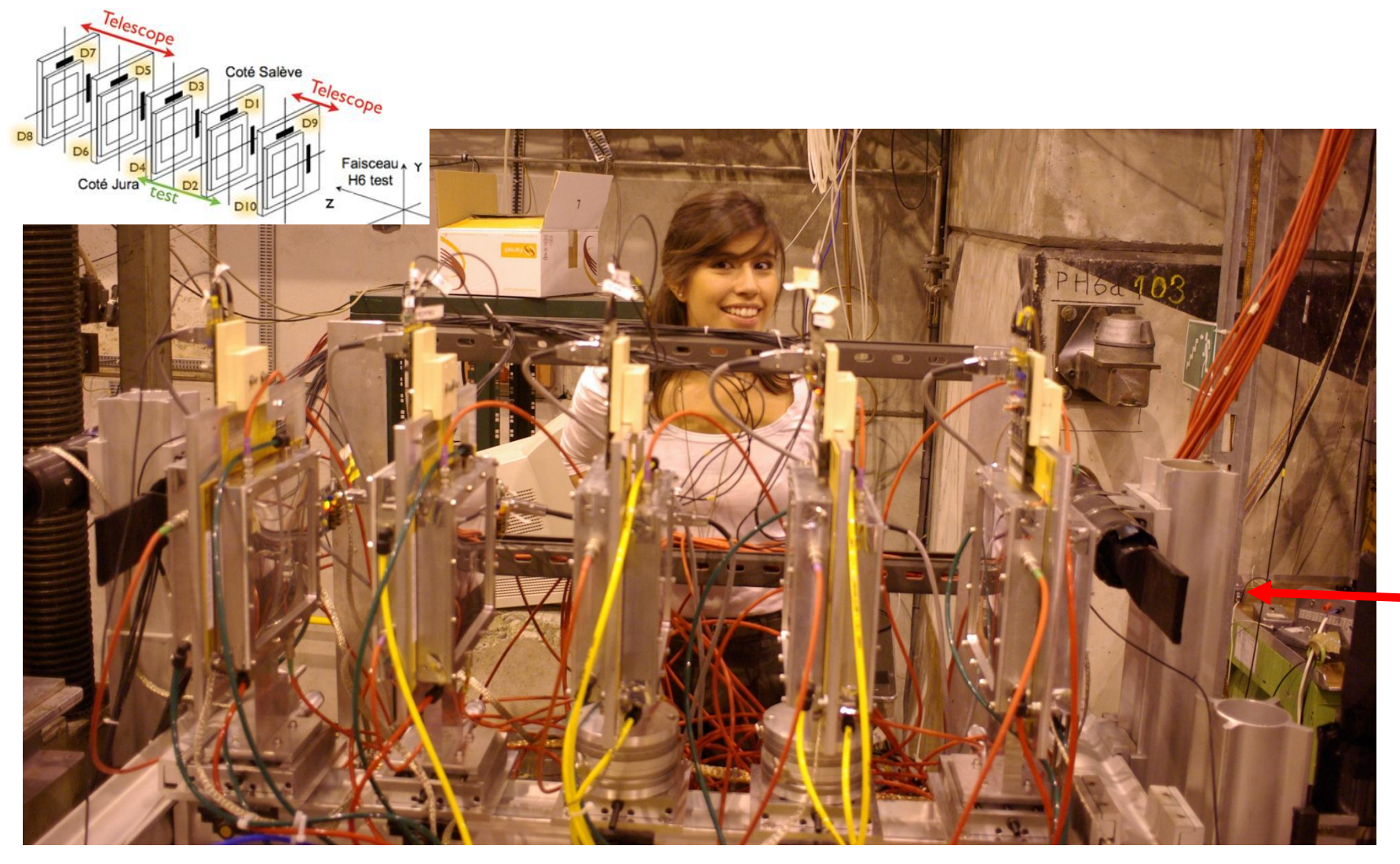
This implies that the number of detector layers should not be too small - many layers will bring high efficiency, low fake rate, good angular resolution and also operational robustness due to redundancy. Long lever arm will be beneficial especially for angular resolution. Optimisation should be made taking into account elements including performance, complexity and limitations from available space which is shared by the detector and possible installation of additional shielding.

End of last year test beam (under analysis)



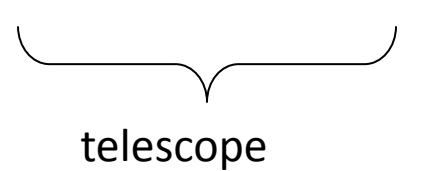
- Comment cela marche actuellement ?
 - Quelles techniques et où ?
- Problème du bruit de fond
- Upgrade (*)
 - Les différentes options
- → Test-beam
- Conclusions

End of last year test beam (under analysis)

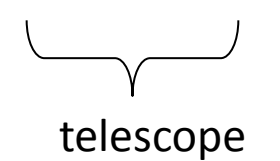


Pions

~150 GeV

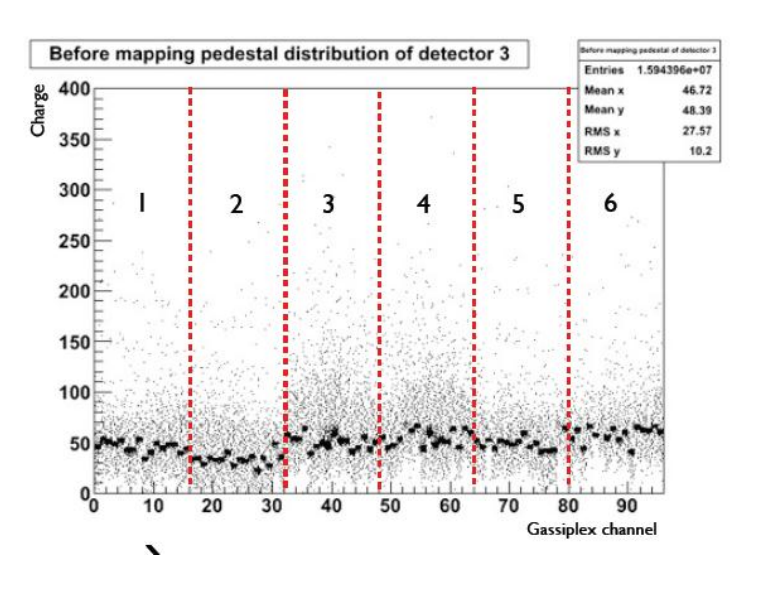


tested detectors



Zone H6

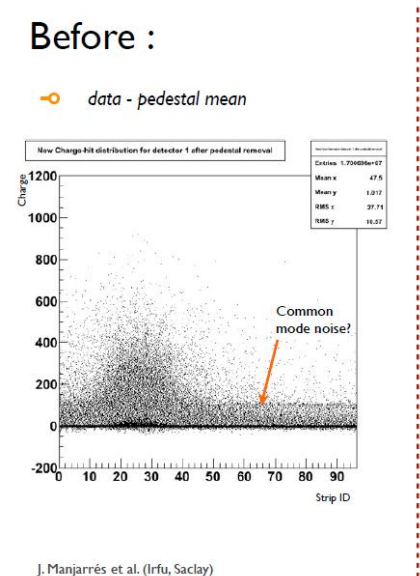
Quelques plots préliminaire venant du faisceau test

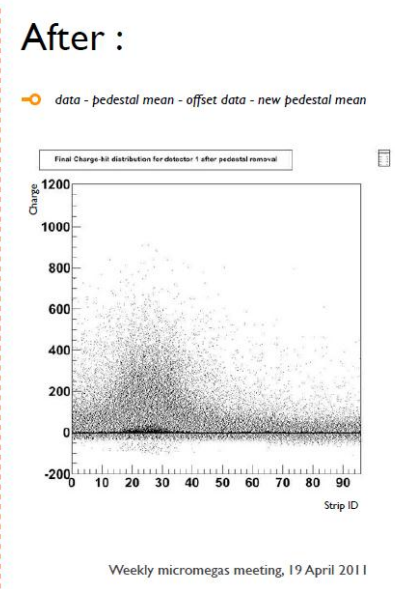


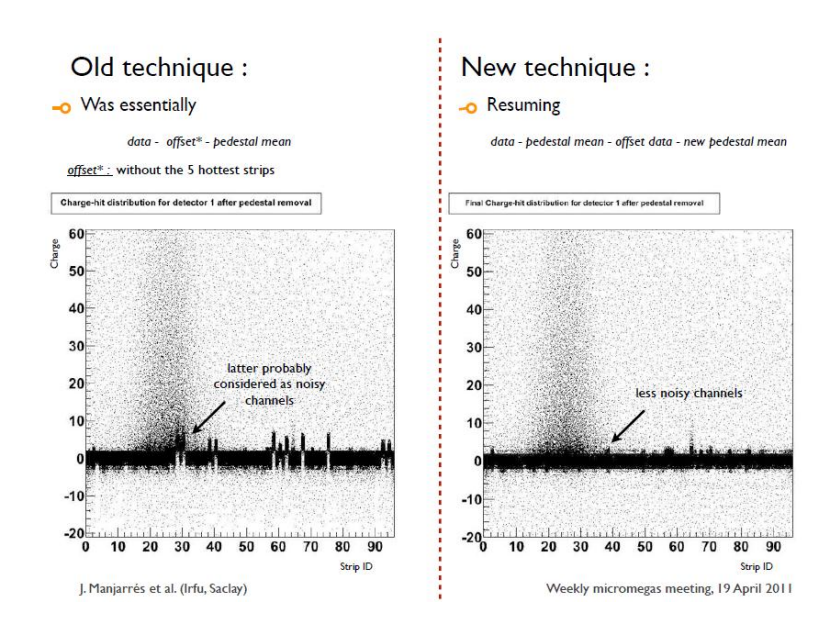
Faisceau test mis en place rapidement (et proprement). Néanmoins quelques petits soucis avec l'électronique Gassiplex (canaux morts) et avec le DAQ (Thessalonik/Athens) : télescope peu redondant.

- Étude du piédestal optimisée
- Définition de traces (coupures)
- Efficacités (préliminaire)

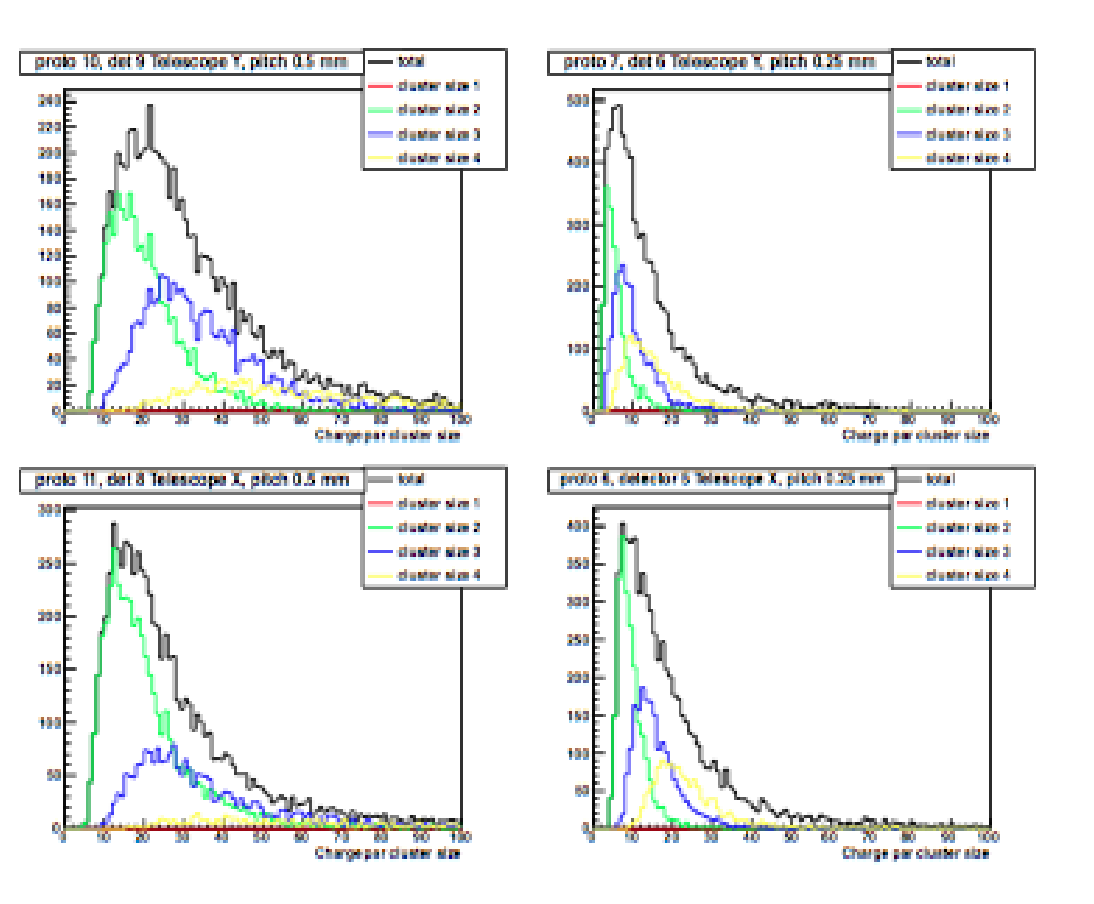








Landau / dE/dx



Définition des cuts des traces

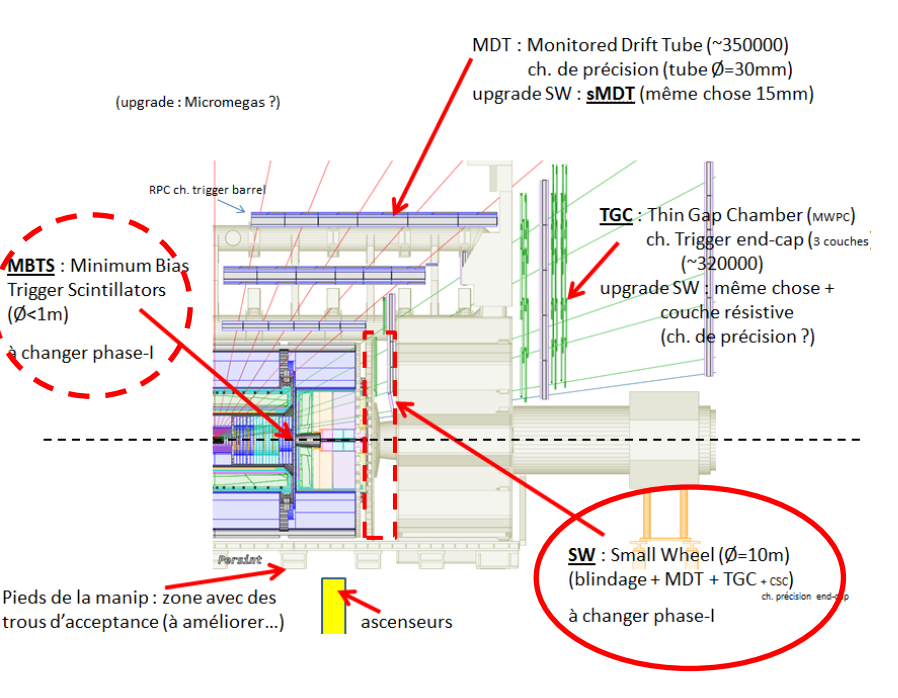
Cut	Resistive	Non resistive
σ cut from pedestal	3.5 σ	3.5 σ
In cluster reconstruction strip gap	not allowed	not allowed
The event must to be in the detector	~	~
Cluster Charge	> 6 ADC counts < 220 ADC counts	>6 ADC counts <100 ADC counts
Cluster Size	No limit	< 3 mm
Bisecting line criteria *	~	>
Slope of the track	must be inside 3 σ of the slopes track distribution	must be inside 3 σ of the slopes track distribution

Résistifà étudier

HV: test telescope (Run 8162)

350V/500V (X3=Y3=350) 330-500

Contraintes spécifiques au projet dans l'environnement Atlas



saclay

Nous avons essayé de distinguer ce qui se fait dans la manip et ce que nous faisons (souhaitons faire)

Se rappeler qu'Atlas a ses propres contraintes (diff. de nous, par ex. : analyse indépendante du détecteur ?) et son propre planning : choix fin 2011 – deb. 2012 ?

Nous essayons d'avoir des objectifs (intermédiaires) clairs et de rester cohérents. Nous avons défini <u>4 thèmes de</u> travail :

(a) Intégration SW, installation, irradiation : SIS, SEDI

(b) Test beams (Micromegas grande taille) : SEDI, SPP (CERN)

(c) Electronic (readout et DAQ) : BNL, (avec SEDI ?)

ATLAS

r f u

(d) Bruit de fond et simulation : SPP (aussi le SPhN ?)

Width of final PCB = 605 mr

Number of strips = 2048 Strip pitch = 0.5 mm Strip width = 0.2 mm

Environnement de travail du groupe dans Atlas

(avant et après être dans la collaboration MAMMA)

Atlas, partie muons (<1995-2009)

MAMMA (2008-...)

Allemagne (Munich LMU et MPI, Freiburg)

CERN

Chine (Beijing IHEP, N.Univ. et S.Univ., Hefei)

États-Unis (Ann Arbor, Boston, Brandeis, Brookhaven, Harvard, MIT,

Northern Illinois, Stony Brook, Tufts, Tuckson, Seattle, Michigan Univ.)

France (<u>Saclay</u>)

Grèce (Thessalonique, Athènes TU, Athènes U)

Israël (Haïfa, Tel-Aviv, Weizmann)

Italie (Bologne, Cosenza, Frascati, Lecce, Naples, Pavie, Rome I, II et III)

Japon (KEK, Kobe, Shinshu, Tokyo ICEPP, MU et UAT)

Pays-Bas (NIKHEF, Nijmegen)

Russie (Doubna JINR, Minsk, Protvino, St. Petersburg NPI)

+ Shandong

+ Arizona, South Carolina, Washington

+ Istanbul

r f u <u>Remarques :</u>

- Nombre de collaborateurs MAMMA pas si nombreux que ca...
- Malheureusement peu de laboratoires de P2IO... :-(



Le groupe actuel

Service technique : personne à 100% !!

<u>SEDI</u>: D.Attié, M.Boyer, E.Ferrer-Ribas, A.Giganon, S.Herlant (stage applicatif diplôme ingénieur), F.Jeanneau (C.d.P.)

<u>SPP</u>: J.Manjarres-Ramos (PhD), Ph.Schune (Resp.Sc.)

(+ F.Bauer : installation proto MicroMegas en caverne Atlas)

Étude des claquages, irradiation : J.Galan (SEDI, post-doc Miro)

<u>Experts</u>: S.Aune, P.Colas, A.Delbart, JDerré, I.Giomataris, Th.Papaevangelou, M.Titov, S.Procureur, D.Neyret...

Spark measurements have been performed with a standard Micromegas detector

Drift window Drift region Strip electrodes PCB board

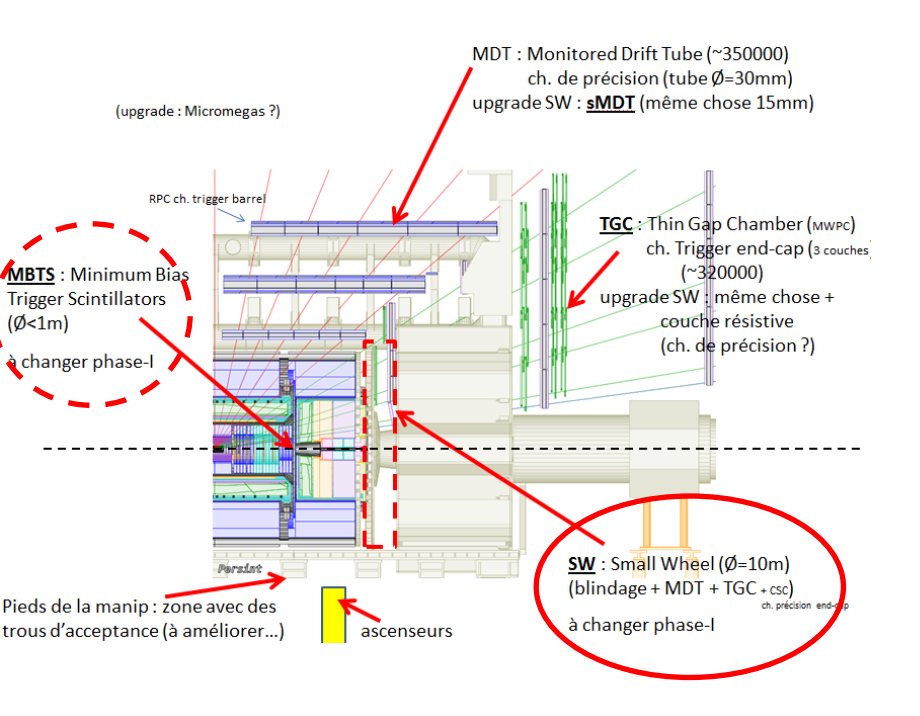
The aim is to establish a methodology and electrical modeling of sparking phenomena.

In order to understand the different electronic responses measured by the different read-out systems and prototypes under development.

Required modeling of spark + modeling of electrical response

<u>Experts hors Saclay</u>: R.de Oliveira (CERN) -production prototypes-, J.Wotschack (CERN, resp. groupe MAMMA), V.Polychronakos (BNL, co-resp. MAMMA et devel. nouvelle électronique), etc...

Contraintes spécifiques au projet dans l'environnement Atlas

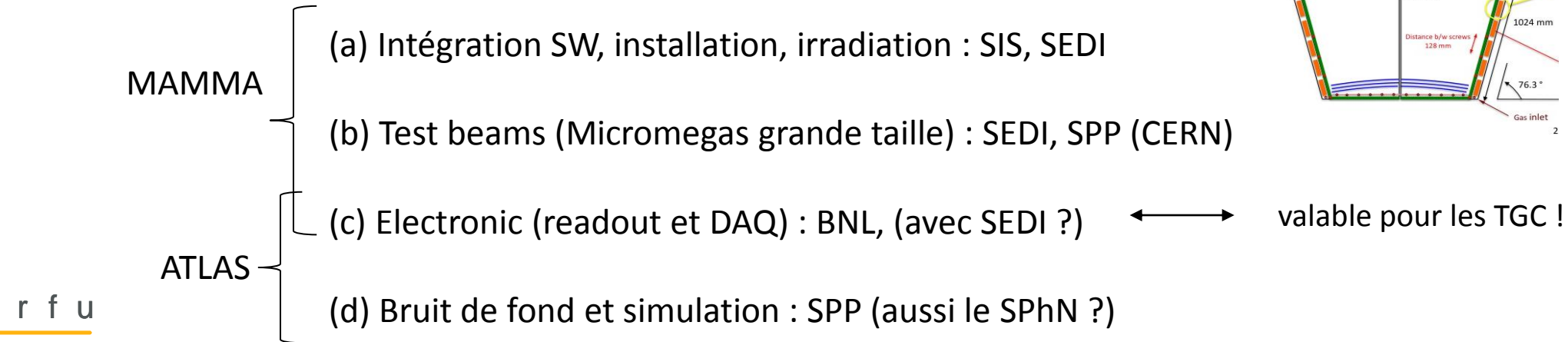


saclay

Nous avons essayé de distinguer ce qui se fait dans la manip et ce que nous faisons (souhaitons faire)

Se rappeler qu'Atlas a ses propres contraintes (diff. de nous, par ex. : analyse indépendante du détecteur ?) et son propre planning : choix fin 2011 – deb. 2012 ?

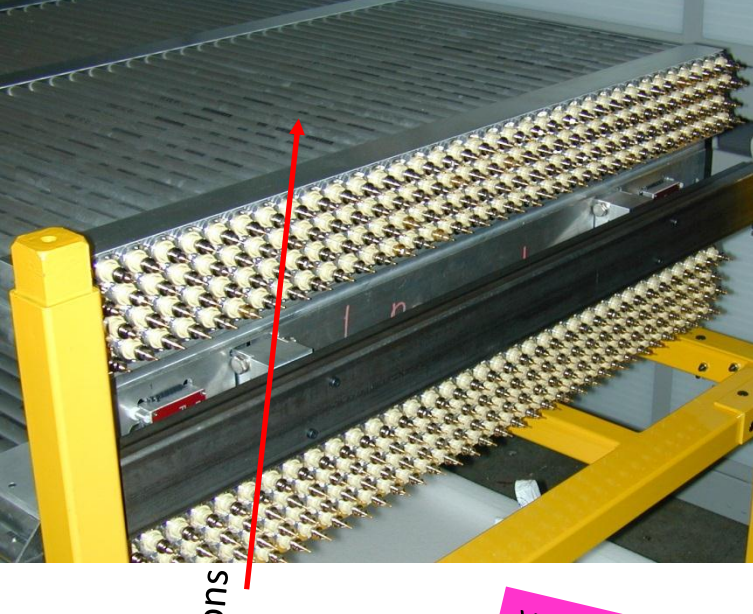
Nous essayons d'avoir des objectifs (intermédiaires) clairs et de rester cohérents. Nous avons défini <u>4 thèmes de travail :</u>

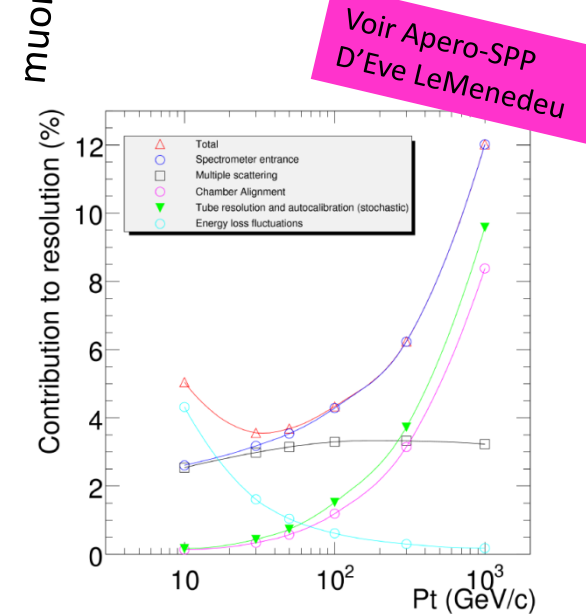


Number of strips = 2048 Strip pitch = 0.5 mm Strip width = 0.2 mm 8 FE cards

Rab...

MDT: Monitored Drift Tubes b=15 mm, a(anode=fil)=50μm L from 2 to 6 m muons cathode gas anode





Gain: 2.10^4 Max drift time of e-: 700ns, i.e. "slow" good for *Lorentz* angle limitation $v \sim 3 \text{ cm/}\mu\text{s}$ (=30 $\mu\text{m/}\text{ns}$)

Centring of wire < $100\mu m$ all along the tube ($20\mu m$ at the end-plug) Threshold at the ~25th e-

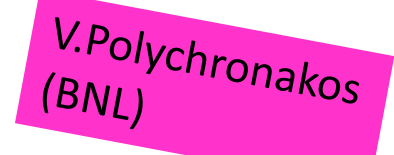
p = 3 bar => $^3\times 100$ pairs/cm (n_{Total}) $^\sim 12$ keV au mip

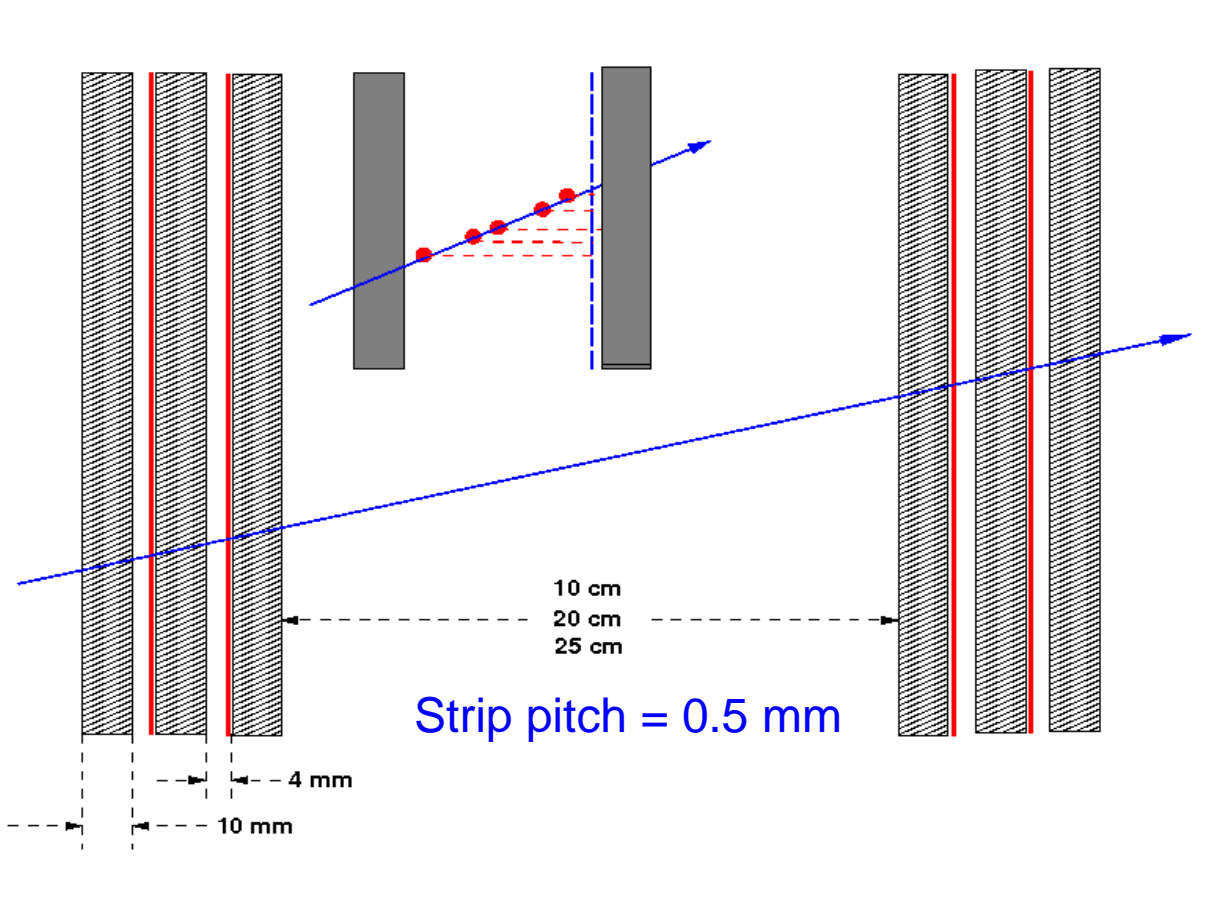
Ar:CO₂ 93:7

 σ ~ 80 – 100 μm / tube => combining tubes of one chamber gives ~50 μm locally

~350 000 canaux ϵ_n^{hit} ~1-3.10⁻⁴ 40

MM Toy Monte Carlo



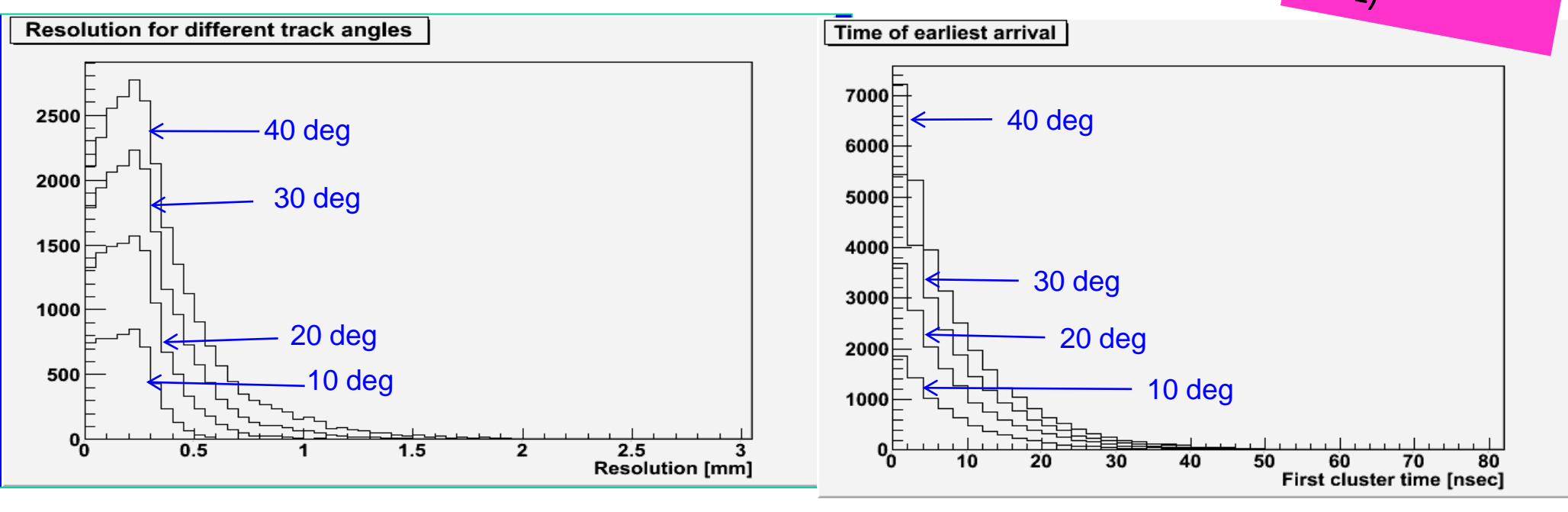


- Generate track at a given angle
- Track crosses a strip at a random position
- Generate primary ionization clusters
 Poisson distributed
- Generate number of electrons for each cluster
- Take strip with earliest time and charge over a certain threshold as the track's coordinate

Reconstruct track and compare slope with the generated one No transverse diffusion considered but effect is negligible for the first arriving cluster

Position and Timing Resolution as a function of incidence angle





- □ Average spatial resolution below 0.5 mm for all angles in Small Wheel acceptance
- ☐ Time of first cluster above threshold mostly below 25 nsec
- □ Requiring, e.g, 3 out of 4 detectors to be within a BC should result in ~100% efficiency
- □ Address of strips can be directly used in a lookup table (e.g. Content addressable memories similar to FTK

La collaboration MAMMA

(cf. J.Wotschack, CERN, mi-mai)

University of Arizona: faisceaux tests

Athens Demokrito: test neutrons

Athens National Technical University: test neutrons

Athen University: simulation Garfield

Brookhaven: simulation Garfield + électronique

CERN: intégration mécanique

Harvard Univ.: rien en pratique

Naples Univ.: tests détecteurs (quelqu'un des RPC)

St Peterburg NPI: travaille avec Brookhaven

Istanbul: deux étudiants

Univ. of Science and Tech. of China (Hefei): veulent participer au faisceau test

Univ. South Carolina: soft analyse data

Thessaloniki Aristotle Univ. (ex. MDT): analyses data

Shandong (?) China (ex. TGC, 10% prod.): participation faisceau (puis production ?)

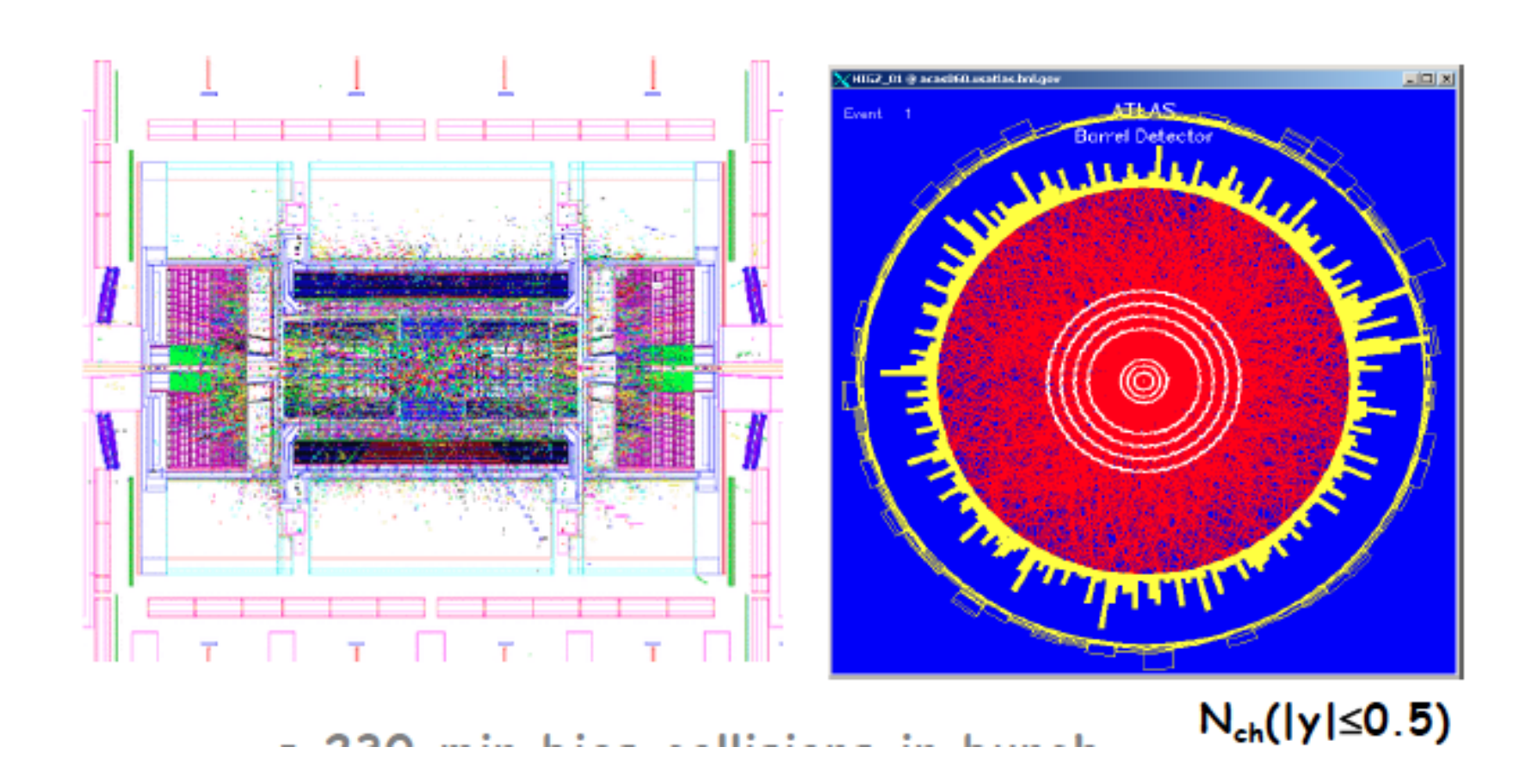
Saclay: claquage, segmentation

Prochaines étapes :

Proto échelle 1

Électronique : rooting (Brookhaven intéressé ?)

Simulation dans Atlas (?)



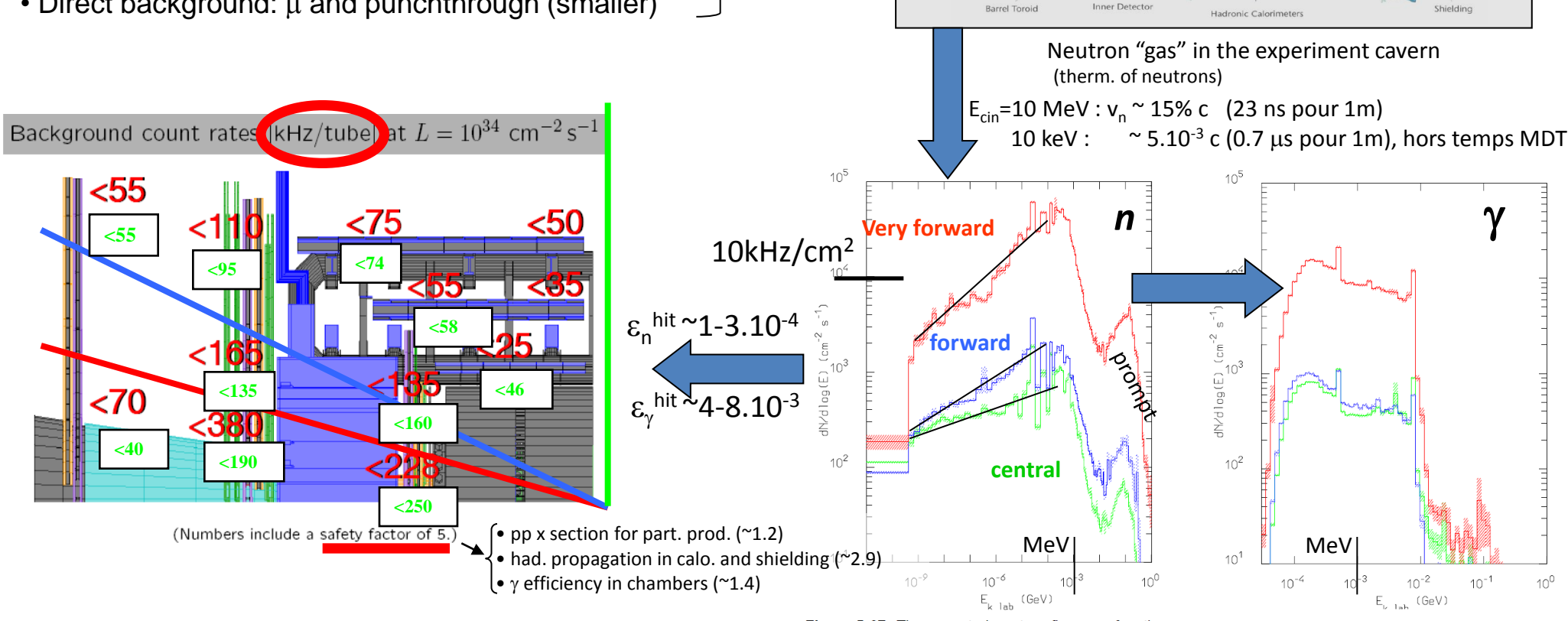
HL-LHC : 230 min.bias collisions in bunch, ~ 10000 particles in $|\eta| \le 3.2$, mostly low pT tracks

Background in Atlas cavern

Background comes from residues of p-p interactions

(through spallation process):

- Huge production of *neutrons*, thus creating γ , thus creating e, etc...
- Also at higher energy, n and γ create ionizing particle (mainly: p, e+, e-)
- Direct background: μ and punchthrough (smaller)



Atlas needs to measure cavern background (using muon spectrometer) in order to reduce uncertainties on background for s-LHC.

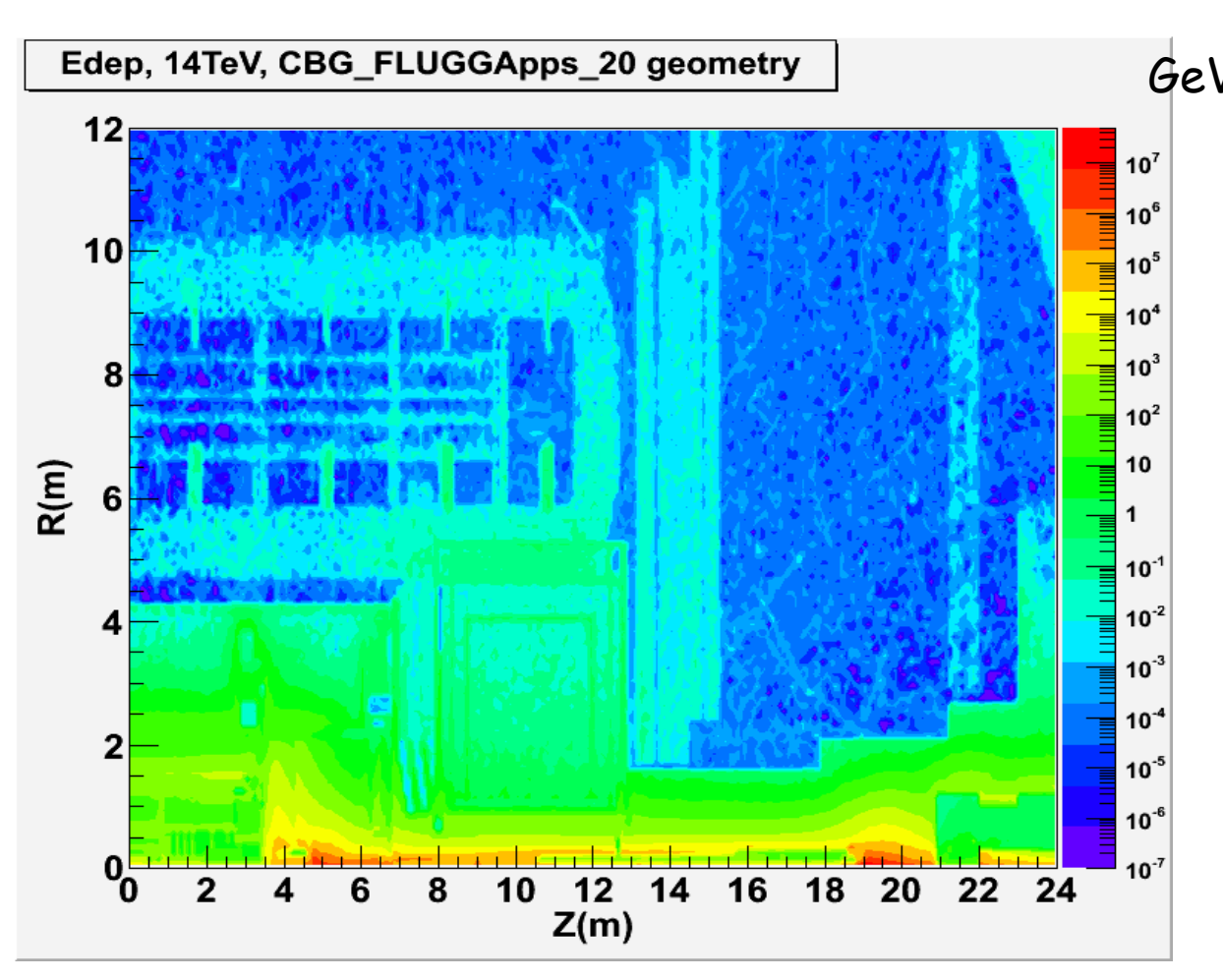
Figure 5-67 The expected neutron flux as a function of neutron energy in different rapidity regions of the muon spectrometer (top curve: $2.3 < \eta < 2.7$, middle curve: $1.4 < \eta < 2.3$ and bottom curve: $\eta < 1.4$).

Figure 5-66 The expected photon flux as a function of photon energy in different rapidity regions of the muon spectrometer (top curve: $2.3 < \eta < 2.74$ middle curve: $1.4 < \eta < 2.3$ and bottom curve: $\eta < 1.4$).

Comparaison données-LHC avec simulation (pour extrapolation au HL-LHC)



Energy Deposition at 14 TeV



GeV/(cm³ sec)

FLUGGApps



- Started ~2 years ago from geometry and material as in Radiation Background Task Force
 - See RBTF Report for details
 - Geometry defined with Geant4
 - Physics from FLUKA
- · Many cross checks and updates since then, e.g.
 - Barrel toroids, planar barrel muon chambers, 2 (instead of 4) CSC chamber layers, addition of EE chambers, more realistic cavern including curved ceiling and end walls, shafts, ID description, missing forward shielding, etc
 - See "More Information" in report during Muon Upgrade meeting of 17/6/2010 for more information.



Cavern Background



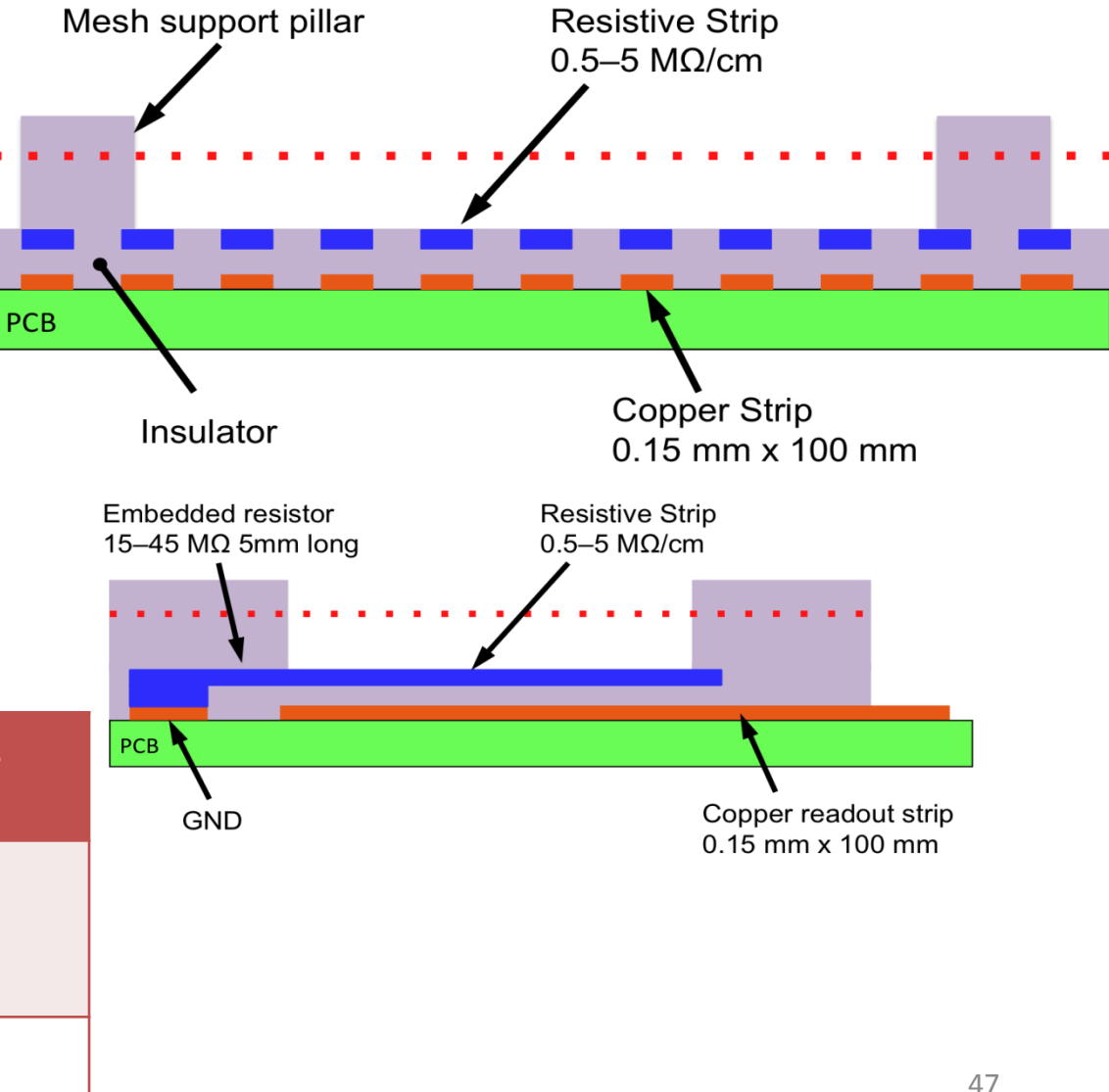
R11, R12 and R13

Small 100 x 100 mm² chamber with 100 mm long strips and 250 µm strip pitch (similar to the previous prototypes - S3, R9, R10), 360 strips in total

Characteristics:

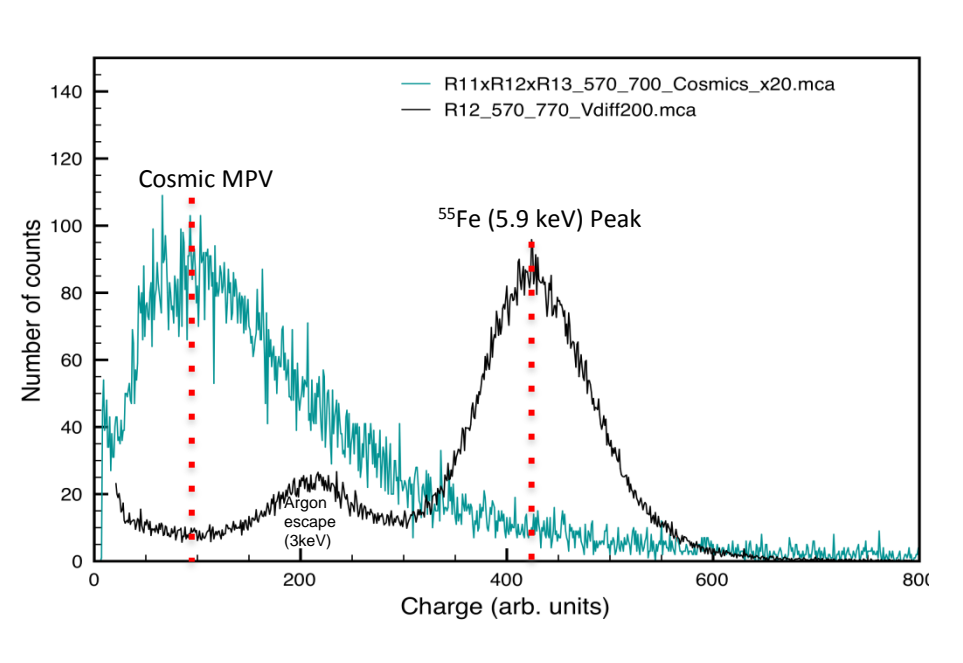
- Resistive strips connected to the ground
- Thin insulating layer between the resistive and readout strips
- AC coupling of signals
- Sparks are neutralized through the resistive strips to the ground

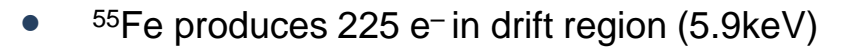
1		3		
CHAMBER	R11	R12	R13	
Resistance to Ground $(M\Omega)$	15	45	20	
Resistance along strip $(M\Omega/cm)$	2	5	0.5	



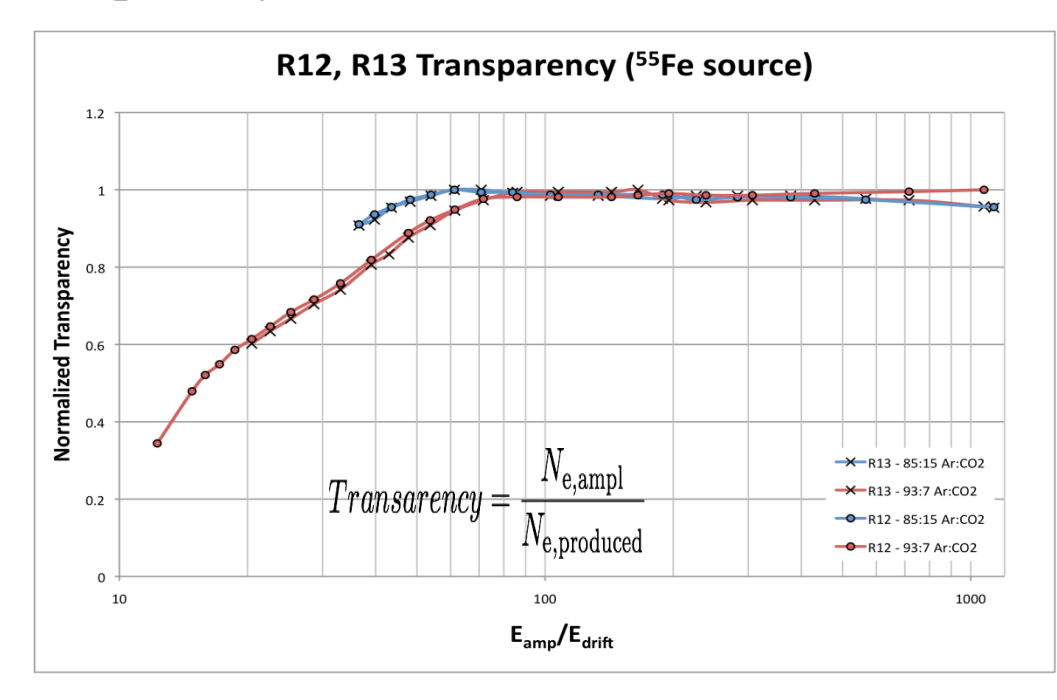
Laboratory tests (7)

Cosmics & Transparency

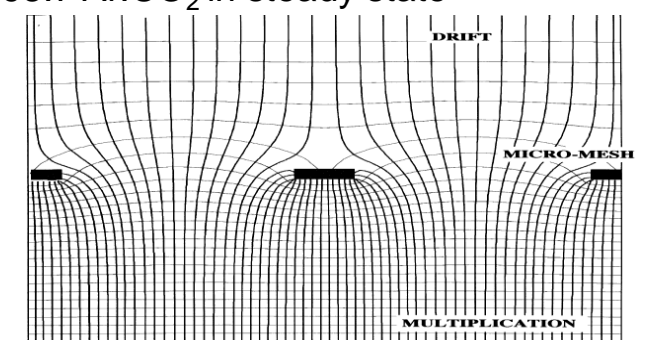




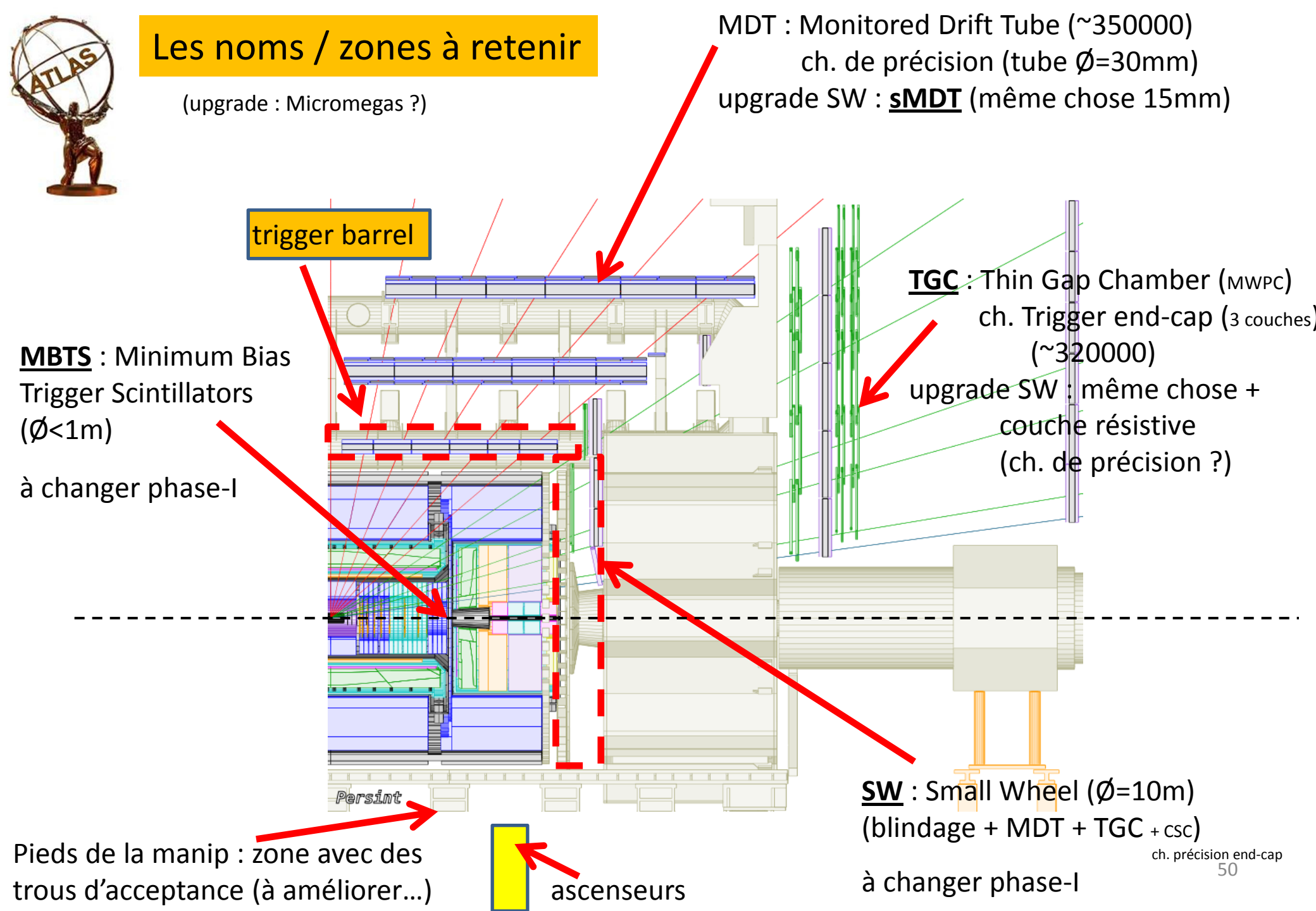
 Cosmics produce ≈ 50 e⁻ in 5mm drift region (~1.5keV) as was expected!



- Transparency
 - For good transparency, $E_{amp}/E_{drift} > 80$
 - 85:15 Ar:CO₂ rises faster, but shows similar behavior to 93:7 Ar:CO₂ in steady state



48



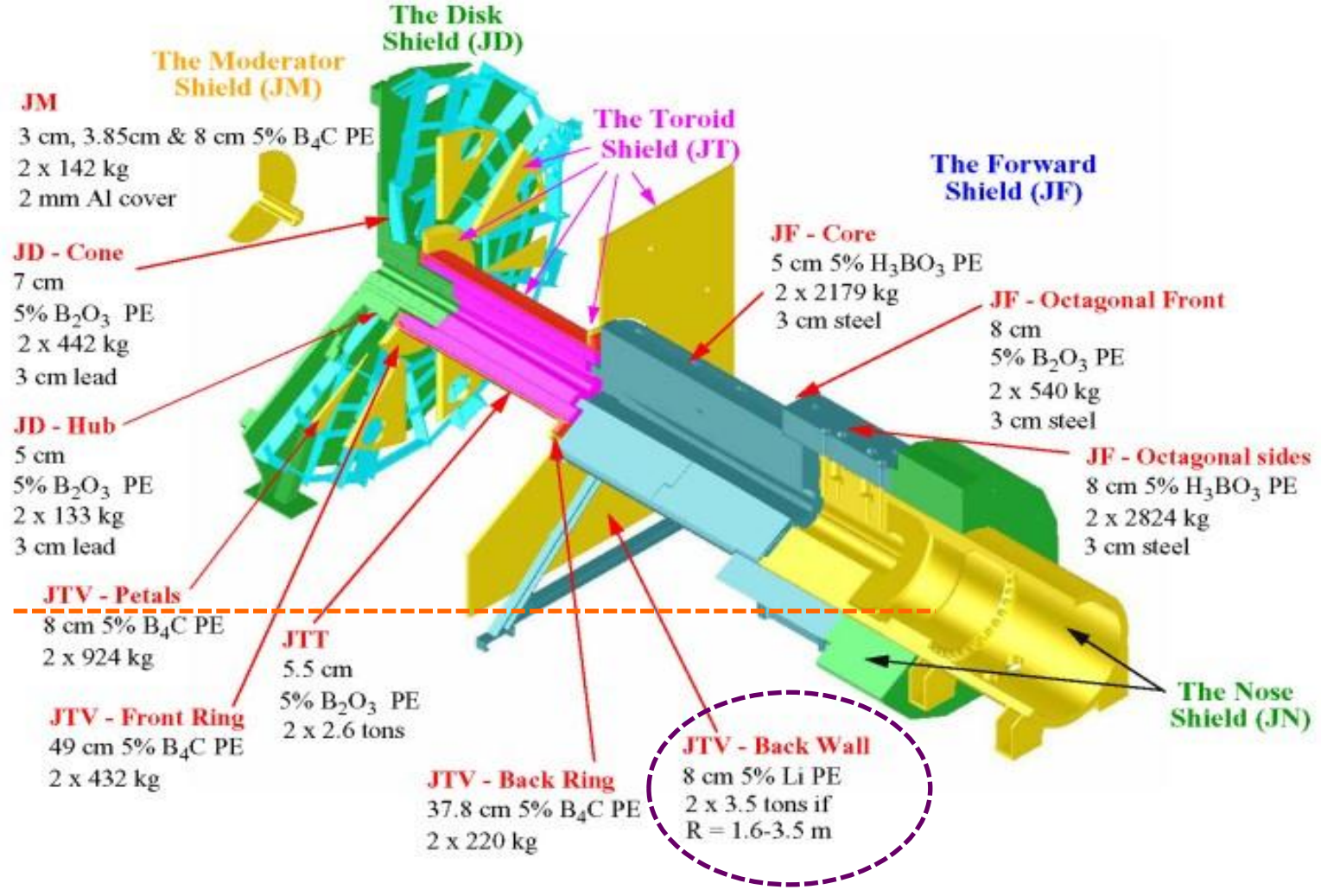
Other Atlas spectrometer upgrade ideas

In phase-2 upgrade (~2020 ?) there is an idea of adding a trigger capacity to the inner barrel layer, to improve online momentum resolution and sharpness of trigger as a function of momentum.

There are considerable technical obstacles to overcome like : the available space in that area... One may have to replace completely the barrel inner chambers with something else...

JTV Back Wakk







From Shielding Project web page

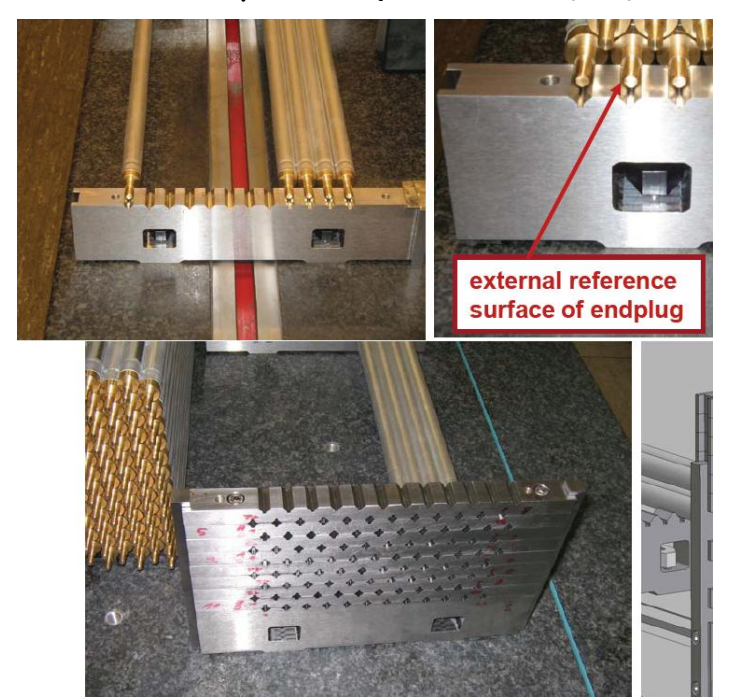


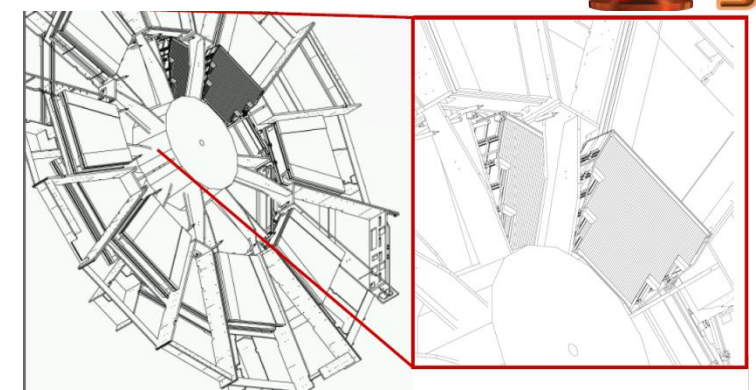
Options concurrentes : small tube MDT (Ø=15mm)

(3 ingénieurs +... sur le

Etudes de constructions basées sur les MDT d'Atlas :

- 8 couches en 1 jour (2x4)
- 50 μm de précision (ok)





Intégration dans Atlas (alignement aussi)



Second coordinate and trigger chamber

TGC eventuellement.

• Études de tenu aux radiations ok pour LHC phase-I

i.e. points les plus chaud : 1400 Hz/cm² = 300 kHz/tube

Au delà: 1500kHz/tube? (en cours). Problème si safety factor = x5?

tude <u>electronique</u> avec nouveaux FPGA (en cours)

occupation jusqu'à ~30%, efficacité par tube basse, mais 8 couches

